

Les minéraux précieux, de base et critiques identifiés dans les zones graphitiques du lac Carheil feront l'objet d'une étude afin d'évaluer leur valeur ajoutée.

Les résultats des analyses montrent la présence de gallium, d'or et d'argent, de métaux de base (cuivre, plomb, nickel, zinc) ainsi que de fer et de vanadium dans les zones graphitiques.

Metals Australia Ltd et sa filiale canadienne en propriété exclusive, Northern Resources Inc., ont le plaisir de communiquer les résultats d'analyse supplémentaires du programme de forage 2025 mené dans le cadre de leur projet graphite Lac Carheil, au Québec (Canada), qui a permis de multiplier par 3,3 l'estimation des ressources minérales¹. Les points saillants comprennent :

- Les résultats d'analyse de certains forages mettent en évidence le potentiel de récupération des métaux, au-delà du graphite qui a été défini dans la ressource minérale récemment élargie à 50 Mt à 10,2 % TGC pour 5,1 Mt de graphite contenu [indiqué : 24,8 Mt à 11,3 % pour 2,8 Mt, déduit : 25,2 Mt à 9,1 % TGC pour 2,3 Mt]¹.
- Référer aux tableaux 1,2 et 3 dans les annexes. Certains forages et zones ont été testés pour leur teneur en plusieurs éléments dans le cadre de programmes géochimiques et géotechniques. **Deux forages (sur 47) ont fait l'objet d'une analyse complète de plusieurs éléments. Les résultats montrent la présence de minéraux précieux, de base et critiques.** Voir les tableaux 1, 2 et 3 en annexe.
- 4 Les forages LC-25-38G et LC-25-46 ont été testés à des intervalles > 1 m avec les résultats suivants : Réf. Fig. 2-4
 - **LC-25-38G (zone sud-est) comprenait : du gallium (Ga) jusqu'à 16,5 g/t** (33 intervalles > 10 g/t), **de l'argent (Ag) jusqu'à 5,5 g/t** (32 intervalles d'argent supérieurs à 1 g/t), **cuivre (Cu) jusqu'à 552 ppm** (30 intervalles > 200 ppm), **fer (Fe) jusqu'à 23,2 %**, **vanadium (V) jusqu'à 1 760 ppm** (23 intervalles > 500 ppm), **zinc (Zn) jusqu'à 2 840 ppm** (19 intervalles > 1 000 ppm). Du nickel (Ni) jusqu'à 365 ppm est également présent. Réf. Fig. 2 et 3 et tableau 1 de l'annexe
 - **LC-25-46 (zone de connexion) : gallium jusqu'à 14,7 g/t** (27 intervalles > 10 g/t), **argent jusqu'à 3,14 g/t** (19 intervalles > 1 g/t), **cuivre jusqu'à 463 ppm** (18 intervalles > 200 ppm), **fer jusqu'à 18,9 %**, **vanadium jusqu'à 1 345 ppm** (7 intervalles > 500 ppm) et **zinc jusqu'à 2 010 ppm** (6 intervalles > 1 000 ppm). Réf. Fig. 2 et 4 et tableau 2 en annexe.
- **LC-25-10 (zone sud-est) comprenait des essais dans une seule zone (214-270 m) avec une zone de 2,5 m titrant 0,83 g/t d'or (Au) et 3,5 g/t d'argent (Ag) (à partir de 265 m).** Voir la figure 2 et le tableau 3 en annexe.
- **Ces minéraux seront tous extraits en même temps que le graphite.** Des travaux supplémentaires sont actuellement en cours afin de déterminer si ces minéraux peuvent être davantage concentrés et récupérés en tant que sous-produits distincts lors du traitement du graphite.
- Les carottes prélevées dans les intervalles graphitiques des zones d'exploitation précoce proposées sont actuellement analysées afin de déterminer leur teneur en métaux précieux, en métaux de base et en

minéraux critiques. Les résidus produits lors du récent programme d'essais métallurgiques² sont également évalués afin de déterminer les niveaux de concentration des minéraux.

- La subvention PARIDM obtenue du gouvernement du Québec³ permettra de financer des essais métallurgiques visant à augmenter la récupération des minéraux pendant l'exploitation et à réduire l'impact des déchets sur l'environnement.

Paul Ferguson, Chef de la direction de Metals Australia, a déclaré :

« Bien que notre objectif principal à Lac Carheil reste l'extraction et le traitement du graphite – afin de fournir un approvisionnement essentiel en matériau d'anode pour les batteries dans le cadre de la transition vers les énergies propres –, il est passionnant de constater l'ampleur plus importante de la minéralisation que nous avons identifiée dans les zones graphitiques. Les nouveaux résultats proviennent de deux forages entièrement analysés, chacun situé dans une zone distincte au sein de la ressource minérale. Les résultats indiquent un potentiel de minéralisation métallique plus étendu dans l'ensemble du gisement.

Nous menons actuellement un programme d'analyse ciblé sur les zones graphitiques des zones Sud-Est et Sud-Est Extension, qui constituent la majeure partie des ressources graphitiques indiquées. Il est prioritaire de comprendre le degré de minéralisation de ces zones, car elles fourniront les premières tonnes dans le cadre du plan d'exploitation minière.

Nous testons également les résidus produits lors de notre récent programme d'essais métallurgiques. Cela permettra de déterminer les métaux présents et leur niveau de concentration lors de la récupération du graphite. Notre processus de conception des résidus produit deux stocks séparés relativement secs, l'un pour les résidus à faible teneur en sulfure et l'autre pour les résidus à forte teneur en sulfure. Cette approche de conception facilitera le développement d'étapes de retraitement supplémentaires, si nécessaire.

Les possibilités de concentrer et de récupérer davantage de minéraux seront désormais étudiées dans le cadre d'un programme d'essais métallurgiques plus large proposé par SGS dans son laboratoire de R&D à Québec. Ce programme, soutenu par la subvention PARIDM, répond aux critères clés du programme, notamment l'étude de la récupération supplémentaire de minéraux et la réduction de l'impact des résidus sur l'environnement en réduisant potentiellement la quantité de résidus à stocker. »

Minéralisation sulfurée plus étendue dans les zones graphitiques

La roche hôte para-gneissique (quartz-feldspath-mica) de la ressource graphitique se compose d'horizons subverticaux, parallèles à la foliation, très continus, de zones graphitiques à grains fins, de couleur gris foncé à noir, contenant jusqu'à 28 % de carbone graphitique (Cg), avec des quantités appréciables de minéraux sulfurés (5 à 35 %)¹. Les zones minéralisées en graphite ont une teneur totale en soufre (TS) comprise entre 1 % et 19 %. Jusqu'à sept unités adjacentes parallèles fortement graphitiques/sulfurées ont été confirmées par forage¹. Les horizons minéralisés ont une largeur horizontale pouvant atteindre 70 m, avec une continuité locale sur des centaines de mètres, et jusqu'à 2,3 km confirmés par forage à ce jour. Il a été confirmé que la minéralisation graphitique s'étendait sur plusieurs dizaines de kilomètres à l'échelle régionale, sur le territoire détenu par la société⁴. Des minéraux sulfurés tels que la pyrrhotite, la pyrite et la chalcopryrite accompagnent la minéralisation graphitique, dans des proportions variables, et sont des minéraux hôtes pour le dépôt de métaux de base, précieux et critiques qui ont désormais été identifiés grâce à des tests en laboratoire.

La proportion de pyrite (sulfure de fer – FeS₂), de pyrrhotite (sulfure de fer Fe_(1-x)S) et de chalcopryrite (sulfure de cuivre et de fer – CuFeS₂) dans le gisement n'a pas été déterminée. La présence de sulfure de zinc (Zn) sous forme de sphalérite ((Zn-Fe)S) n'avait pas été remarquée auparavant. Cependant, les résultats de laboratoire montrent que le Zn est présent dans tous les trous et toutes les zones testés à ce jour, à des teneurs élevées pouvant atteindre 0,28 %. Le gallium est également souvent associé à la sphalérite.

L'usine de concentration de graphite en paillettes concentrera également d'autres minéraux.

L'objectif principal de l'usine de concentration de graphite en paillettes est de séparer et de concentrer le graphite. La conception proposée pour l'usine atteint cet objectif de manière exceptionnelle en récupérant 96,7 % du graphite contenu dans le minerai pour obtenir un produit à 95,4 % de graphite.¹

Tous les autres minéraux présents dans les zones minéralisées ont des propriétés très différentes de celles du graphite. Le régime de réactifs utilisé dans la flottation du graphite est très sélectif pour séparer le graphite des autres minéraux. D'autres régimes de réactifs et d'autres propriétés telles que la densité et la susceptibilité magnétique peuvent être exploités pour séparer certains des autres minéraux et transformer d'autres éléments précieux en un sous-produit commercialisable.

Il convient de noter que les autres minéraux et formes minérales identifiés ont des propriétés différentes de celles du graphite, qui peuvent être exploitées davantage pour une récupération future par des étapes de concentration. Les minéraux identifiés comprennent la pyrite (4,8 à 5,0 t/m³) – non magnétique, la pyrrhotite (3,5 à 4,5 t/m³) – potentiellement magnétique, la chalcopyrite (4,1 à 4,3 t/m³) – faiblement magnétique et la sphalérite (3,9 à 4,2 t/m³) – non magnétique. Ces formes minérales seront concentrées dans les stocks de résidus. Un séparateur magnétique (voir fig. 1) est utilisé dans le processus pour séparer les minéraux qui sont même légèrement magnétiques, dans le stock à haute teneur en sulfure¹.

Les deux flux de résidus sont ensuite produits sous forme de résidus relativement secs (teneur en humidité d'environ 10 %). Les deux flux sont séparés afin d'améliorer la gestion globale de l'élimination des déchets. Le flux de résidus à faible teneur en sulfure est en grande partie inoffensif (c'est-à-dire qu'il présente une teneur en soufre considérablement réduite, ce qui diminue le risque que le matériau soit une source de drainage acide) et peut donc être éliminé par transport routier classique et mise en décharge avec les stériles miniers.

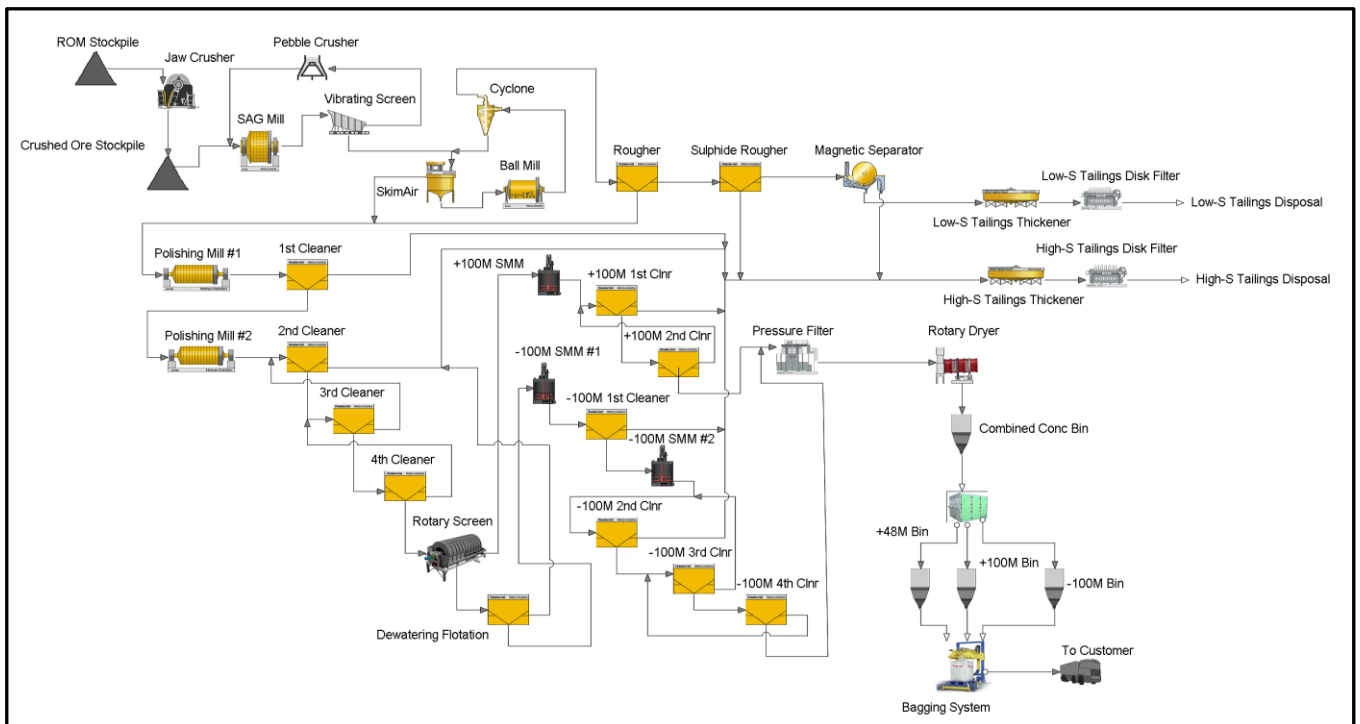


Figure 1 : Projet graphite Lac Carheil – Schéma de l'usine de concentration de graphite en paillettes avec flux de résidus à faible teneur en sulfure et à forte teneur en sulfure

Le deuxième produit résiduaire concentre les minéraux sulfurés. Ces deux flux sont représentés dans le schéma de flux ci-dessus, à la figure 1.

Bien que la conception visant à isoler les résidus à forte teneur en sulfure ait pour objectif de garantir leur récupération et leur élimination séparées – afin d'atténuer tout impact environnemental potentiel pouvant être associé aux

matériaux à forte teneur en sulfure (potentiellement générateurs d'acide (PAG)) –, ces matériaux font actuellement l'objet d'une évaluation plus approfondie afin de déterminer leur valeur potentielle et d'autres options d'élimination.

La conception de l'usine ci-dessus prévoit une moyenne d'environ 860 000 tonnes par an pour fournir 100 000 tonnes par an de concentrés de graphite en paillettes (avec une teneur moyenne d'environ 95,4 % de carbone total)¹. D'après un simple bilan massique, les résidus produits chaque année s'élèvent à environ 760 000 tonnes. La conception actuelle prévoit une répartition prudente des résidus à faible et à forte teneur en sulfure, respectivement à environ 35 % et 65 %, la majeure partie des matériaux (y compris les middlings) étant concentrée dans les résidus à forte teneur en sulfure afin de minimiser tout impact sur l'élimination prévue des matériaux à faible teneur en sulfure sous forme de déchets miniers. Ces répartitions seront testées plus en détail dans le cadre du programme d'essais métallurgiques prévu, soutenu par le PARIDM.

Sur la base de ce qui précède, la quantité annuelle de résidus à haute teneur en sulfure (HS) est estimée à environ 494 000 tonnes (~2,95 t/m³). La conception de l'étude de pré faisabilité repose sur le scénario le plus pessimiste, selon lequel tous les résidus HS doivent être enfouis dans des cellules de confinement situées dans la zone de stockage des résidus (ZSR). Toutefois, compte tenu de la teneur potentielle en minéraux des résidus, d'autres possibilités sont à l'étude pour une utilisation partielle ou totale ou la vente de ces matériaux hors site.

Les options qui devraient être étudiées comprennent l'évaluation du fer et du soufre pour d'autres applications industrielles. Les sulfures peuvent être utilisés comme matière première pour les usines d'acide ou raffinés pour produire des engrais. Les autres minéraux présents, s'ils sont confirmés en quantités commerciales, feront l'objet d'études supplémentaires afin d'augmenter leur concentration et leur récupération.

La subvention PARIDM couvre environ 40 % du coût des essais proposés visant à optimiser le processus de récupération du graphite et à étudier les possibilités d'augmenter la récupération d'autres minéraux dans le gisement³. La réduction de l'impact des résidus sur l'environnement est également un élément clé de la subvention.

Les résultats du programme d'essais métallurgiques soutenu par le PARIDM seront ensuite intégrés dans la conception de l'usine de traitement pour l'étude de faisabilité, y compris les avantages économiques qui pourraient en découler.

Minéralisation étendue – au-delà du graphite apparent dans les zones de connexion et Sud-Est.

La figure 2 ci-dessous montre les positions des deux forages qui ont été entièrement testés (toutes les zones) pour leur teneur en éléments multiples (ALS – ME-MS41). **LC-25-38G** (foré à 228 m) est situé dans la zone sud-est de la ressource minérale. **LC-25-46** (foré à 171 m) est situé dans la zone de connexion. Les forages sont distants d'environ 600 m l'un de l'autre. Sur la base des observations réalisées à ce jour, un échantillonnage supplémentaire des intervalles de carbone graphitique dans les zones sud-est et sud-est a été entrepris afin d'évaluer le degré de minéralisation présent dans ces zones. Ces zones, qui représentent la majeure partie des ressources indiquées, constituent les zones d'exploitation à court terme du plan du projet. Une fois disponibles, ces informations seront intégrées au programme de conception métallurgique afin d'étudier les prochaines étapes en matière de concentration et de récupération.



Figure 2 - Projet graphite Lac Carheil : La nouvelle ERM et l'emplacement des deux forages ayant fait l'objet d'une analyse multi-éléments complète (LC-25-38G dans la zone sud-est et LC-25-46 dans la zone de connexion). L'emplacement du forage LC-25-10, qui a donné 0,83 g/t d'or, est également indiqué.

Les deux forages représentés dans la figure 2 ont également été représentés sous forme de diagraphie de fond dans les figures 3 et 4 ci-dessous. Les figures montrent les intervalles de carbone graphitique et la forte corrélation avec les niveaux de minéraux précieux, de base et critiques, qui ont été additionnés (à l'exception de l'argent) pour faciliter la consultation.

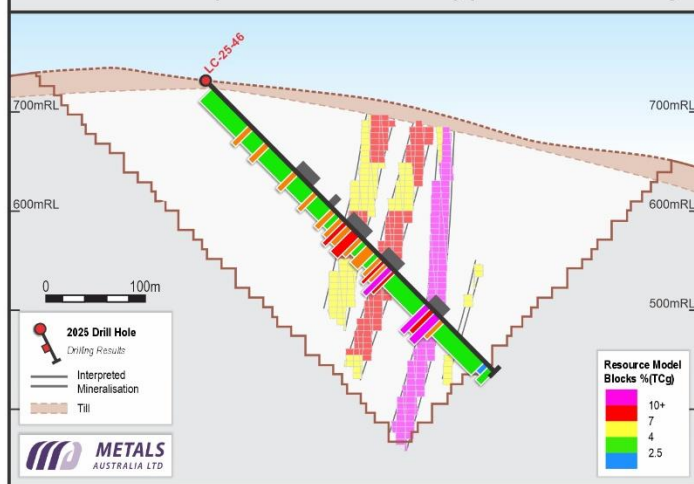
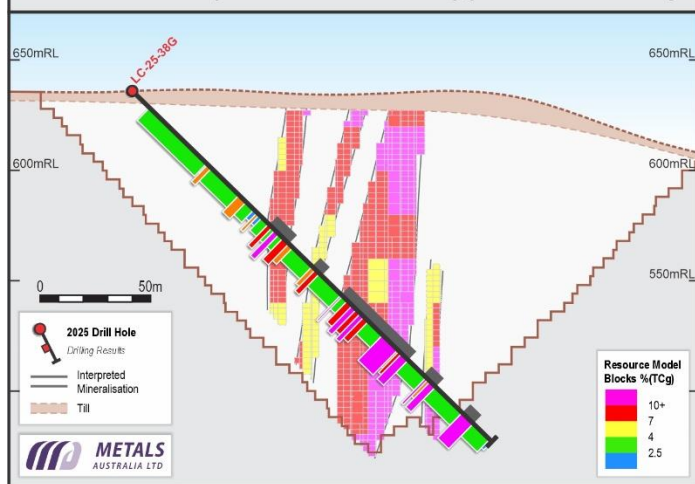
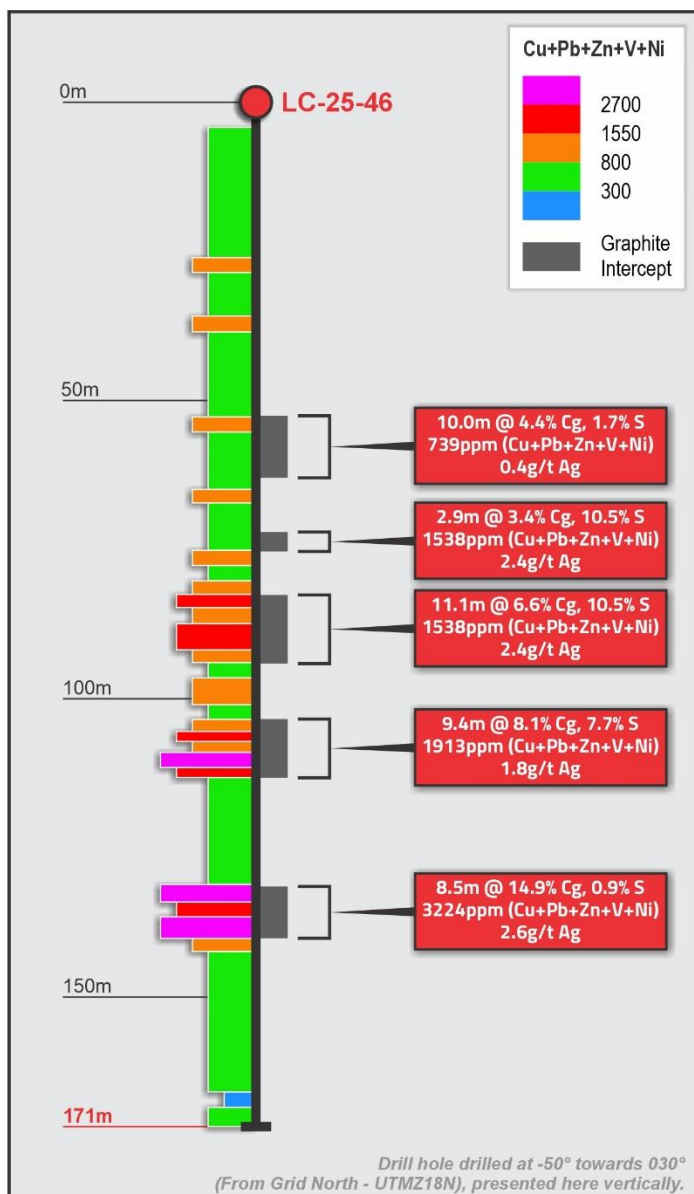
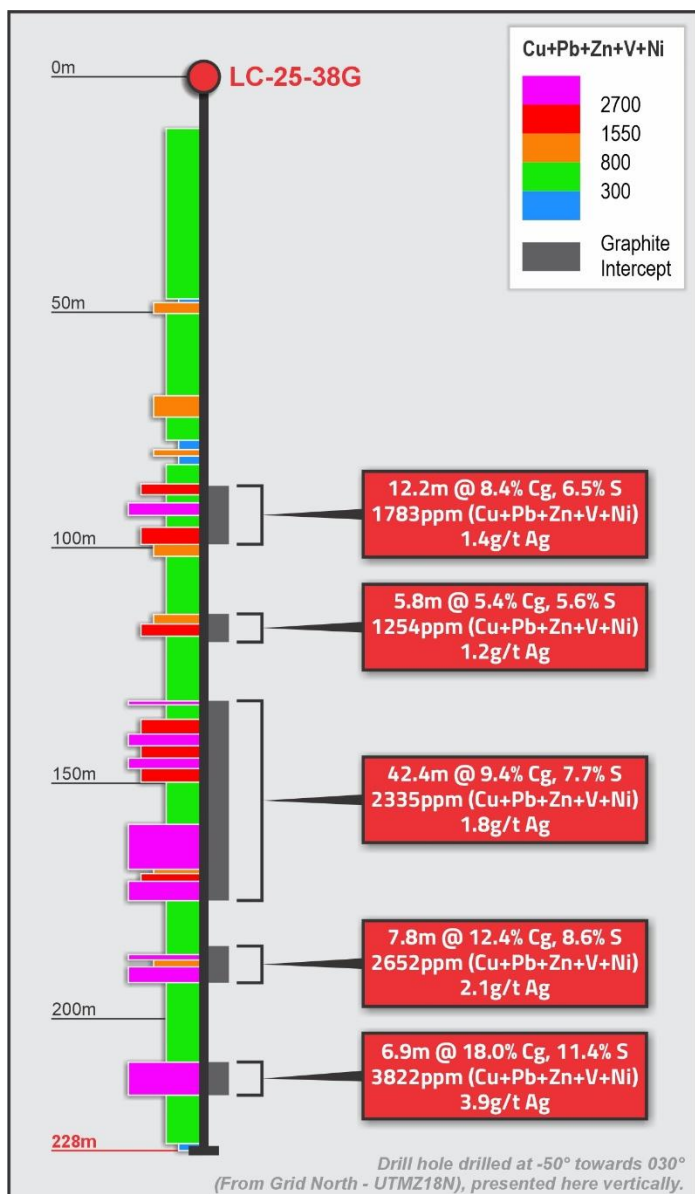


Fig 3 : LC-25-38G (zone sud-est) et Fig. 4 : LC-25-46 (zone de connexion) : les figures montrent le profil de fond de puits des zones graphitiques et de la minéralisation associée (Cu + Pb + Zn + V + Ni combinés) et l'argent (g/t), ainsi que la coupe transversale de chaque forage sous le profil.

Prochaines étapes du projet

D'autres travaux sont en cours afin d'échantillonner davantage les zones graphitiques situées dans les zones d'extension sud-est et sud-est afin de confirmer la continuité et l'ampleur des minéraux précieux, de base et critiques mentionnés dans le présent communiqué. Les zones d'extension sud-est et sud-est contiennent la majeure partie des ressources minérales indiquées, qui seront exploitées au début du projet.

Des travaux sont également en cours afin de tester les résidus produits dans le cadre du programme d'essais métallurgiques utilisé pour définir les paramètres de conception de l'usine de concentration de graphite en paillettes. Une analyse multi-éléments sera effectuée sur les résidus à faible teneur en sulfure et à forte teneur en sulfure afin d'évaluer la présence de minéraux dans chacun des résidus et l'ampleur des concentrations présentes.

Les informations recueillies seront ensuite utilisées dans le cadre du programme d'essais métallurgiques financé par la subvention PARIDM, qui est en cours de planification afin de faire passer la conception de l'usine de traitement du stade de préfaisabilité à celui de faisabilité. Le programme PARIDM soutient la recherche de technologies visant à améliorer la récupération du minéral primaire essentiel (dans ce cas, le graphite), ainsi que la récupération d'autres minéraux présents dans le gisement.

Une session de planification est prévue à Québec à la mi-octobre afin d'établir le programme d'essais et les priorités pour les travaux d'essai.

Fin du communiqué / Flux d'actualités à venir

La société travaille actuellement sur les mises à jour suivantes :

- Manindi VTM – Prochaines étapes pour le projet Manindi Vanadium, Titanium & Magnetite.
- Warrego East – Résultats d'analyse des échantillons de forage (lorsqu'ils seront disponibles) pour les cibles évaluées dans le Territoire du Nord.

À propos de Metals Australia Ltd

Metals Australia Ltd (ASX : MLS) s'est forgé une solide réputation dans la découverte de métaux et de minéraux critiques et dispose d'un portefeuille de qualité comprenant des projets d'exploration et de pré-développement avancés dans les juridictions minières très riches et bien établies du Québec (Canada), de l'Australie occidentale et du Territoire du Nord (Australie).

La Société, par l'intermédiaire de sa filiale canadienne **Northern Resources Inc.**, poursuit le développement de son projet phare **Lac Carheil, un projet de graphite en paillettes à haute teneur** au Québec, un projet de grande qualité qui est bien placé pour fournir à l'avenir du graphite de qualité supérieure destiné aux batteries lithium-ion/véhicules électriques du marché nord-américain, ainsi que d'autres produits à base de graphite en paillettes.

La Société a récemment annoncé une augmentation significative de son estimation des ressources minérales pour le projet¹ - L'estimation totale des ressources minérales (ERM) est de **50 Mt à 10,2 % TGC pour 5,1 Mt de graphite** contenu [dont 24,8 Mt indiquées à 11,3 % pour 2,8 Mt et 25,2 Mt présumées à 9,1 % TGC pour 2,3 Mt]. La nouvelle ressource est 3,3 fois plus importante que la première ressource minérale qu'elle remplace³ [total antérieur indiqué et présumé de 13,3 Mt à 11,5 % pour 1,5 Mt]⁶. La ressource initiale étayait une étude préliminaire qui prévoyait une durée de vie du projet de 14 ans⁷.

Le programme de forage 2025, utilisé pour définir l'ERM, a confirmé une longueur combinée et continue des unités graphitiques de plus de 2,3 km (ouverte vers le nord-ouest et le sud-est)³. En plus de l'ERM désormais mise à jour, la société a précédemment communiqué des résultats d'échantillonnage de graphite exceptionnellement riches et étendus provenant du lac Carheil, dont 10 résultats supérieurs à 20 % Cg et une moyenne de 11 % Cg **sur une longueur**

de 36 km sur 10 tendances graphitiques identifiées dans le cadre du projet⁴. La nouvelle ERM a été définie à partir du forage sur une seule des dix tendances graphitiques, s'étendant sur 2,3 km des 36 km de tendances graphitiques cartographiées et échantillonnées.

La Société a finalisé un programme d'essais métallurgiques sur le Lac Carheil, s'appuyant sur des travaux antérieurs qui ont généré des **résultats de concentration par flottation à haute teneur atteignant 95,4 % de carbone graphitique (Cg)** avec un taux global de **récupération du graphite de 96,7 %**¹. Les essais ont démontré que 28,9 % en poids du concentré est de taille moyenne à grossière, tandis que 71,1 % est de taille inférieure à 100 mesh et convient à la production d'anodes de batterie¹. La société a récemment fourni une mise à jour concernant les essais réalisés pour son projet d'usine de production de matériaux pour anodes de batterie. Les principaux résultats des derniers essais ont confirmé un rendement combiné de 72 % du concentré converti en produits de graphite sphérique et la mise en place d'un processus de purification privilégié qui a permis d'obtenir un produit de graphite sphérique à 99,99 % de carbone fixe (SG18)⁸. D'autres travaux sont en cours avec Anzaplan en Allemagne et Xinde en Chine afin de valider les performances électrochimiques du produit SG dans les applications d'anodes de batterie⁸. Lycopodium a bien avancé dans son étude de préfaisabilité (EP) pour l'usine de concentré de graphite en paillettes³. Dorfner Anzaplan a maintenant commencé l'évaluation économique du projet (étude de cadrage) pour l'usine de matériaux d'anodes de batterie⁵.

Ce communiqué fournit des informations relatives à la minéralisation plus large qui a été observée dans les zones graphitiques. L'analyse multi-éléments de deux forages complets (LC-25-38G et LC-25-46) a démontré la présence de métaux précieux (argent et or), ainsi que de métaux de base (cuivre, zinc, vanadium et nickel) et de gallium à des niveaux anormaux élevés. L'importance de cette observation réside dans le fait que tous les minéraux seront récupérés et concentrés dans le cadre de l'exploitation minière du graphite. D'autres essais sont désormais prévus afin d'évaluer les étapes optimales de concentration et de récupération pouvant être mises en œuvre et d'évaluer les opportunités économiques pour les minéraux. Les avantages des autres options de disposition identifiées comprendraient une réduction de la quantité de résidus à éliminer sur le site et des économies sur les coûts de cette élimination.

La Société détient également les concessions minières du projet Corvette River, qui comprend plusieurs projets d'exploration d'or, d'argent et de métaux de base dans la région de classe mondiale de la baie James, au Québec. La Société a cartographié plusieurs corridors d'or, d'argent et de métaux de base, avec de l'or à West et East Eade et de l'or, de l'argent et des métaux de base dans la zone prospective Felicie⁹.

Parmi les autres projets clés de la Société figure le projet avancé **Manindi Critical Minerals** dans le district de Murchison, en Australie occidentale, où la société a annoncé des résultats positifs issus des essais métallurgiques¹⁰ réalisés sur sa découverte de titane-vanadium et de magnétite à haute teneur¹¹. La Société mène également des études supplémentaires sur sa ressource minérale de zinc à haute teneur de **1,08 Mt à 6,52 % Zn, 0,26 % Cu, 3,19 g/t Ag** (dont mesurée : 37,7 kt à 10,22 % Zn, 0,39 % Cu, 6,24 g/t Ag ; indiquées : 131,5 kt à 7,84 % Zn, 0,32 % Cu, 4,60 g/t Ag et présumées : 906,7 kt à 6,17 % Zn, 0,25 % Cu, 2,86 g/t Ag)¹².

La Société poursuit également ses travaux sur le prospect **Warrego East**, situé dans la province cuprifère et aurifère de Tennant Creek, dans le Territoire du Nord¹³. Un projet de forage visant à tester cinq zones cibles a été mené à bien, et la société attend désormais les résultats d'analyse du programme. Tous les échantillons ont été envoyés à un laboratoire de Perth pour y être analysés. Les résultats seront communiqués dès qu'ils seront disponibles et auront fait l'objet d'une analyse complète.

Cette annonce a été approuvée pour publication par le Conseil d'administration.

Références

¹Metals Australia Ltd, 19 août 2025 – L'expansion des ressources en graphite fait de ce projet un projet de classe mondiale.

²Metals Australia Ltd, 25 mars 2024 – Programmes métallurgiques pour faire avancer le développement du projet Lac Carheil*.

³Metals Australia Ltd, 6 mars 2025. Le projet Lac Carheil Graphite obtient une subvention.

⁴Metals Australia Ltd, 16 janvier 2024 – Graphite exceptionnel à 64,3 % et nouveaux forages à Lac Carheil*.

⁵Metals Australia Ltd, 8 mai 2024 – Attribution de contrats importants pour faire avancer Lac Carheil*.

⁶Metals Australia Ltd, 15 juin 2020 – Metals Australia livre une première ressource JORC à haute teneur à Lac Carheil.

⁷Metals Australia Ltd, 3 février 2021 – Résultats de l'étude préliminaire pour le projet graphite Lac Carheil*

⁸Metals Australia Ltd, 11 septembre 2025 – Raffinerie de matériaux d'anodes pour batteries – Mise à jour sur la conception et l'emplacement.

⁹Metals Australia Ltd, 11 octobre 2024 – Les nouveaux résultats sur l'or et les métaux soulignent le potentiel de Corvette.

¹⁰Metals Australia Ltd, 16 mai 2025 – La découverte de titane, de vanadium et de fer à Manindi fournit des concentrés à haute teneur

¹¹Metals Australia Ltd, 29 septembre 2022 – Intersection à haute teneur en titane, vanadium et fer à Manindi

¹²Metals Australia Ltd, 17 avril 2015 – Révision à la hausse des ressources minérales de Manindi

¹³Metals Australia Ltd, 26 juin 2025 – Début prévu du forage des cibles de cuivre-or dans le Territoire du Nord

Note* : Les références antérieures au projet Lac Rainy Graphite sont mises à jour dans cette liste et remplacées par « Projet Lac Carheil Graphite ».

Hole ID	From		To		Cu+Zn+Pb+Ni+Mn	Cu (ME-MS41)	Ga (ME-MS41)	Pb (ME-MS41)	Zn (ME-MS41)	Ni (ME-MS41)	Ag (ME-MS41)	V (ME-MS41)	Fe (ME-MS41)	Graphitic Carbon
	m	m	m	m	ppm	ppm	(ppm)	ppm	ppm	ppm	ppm	ppm	%	%
LC-25-38G	10.9	13.1			438.7	47	14.8	3.9	153	70.8	0.07	137	5.13	0.4
LC-25-38G	13.1	15.7			400.5	43.5	12.1	4.8	127	56.2	0.08	111	4.09	0.16
LC-25-38G	15.7	18			475.9	65.8	15.05	3.3	175	72.8	0.09	144	5.32	0.72
LC-25-38G	18	20.5			1233.3	199	9.31	6.2	203	87.1	0.42	194	5.71	5.29
LC-25-38G	20.5	23			849.3	124.5	8.82	4.8	166	66	0.31	160	4.91	3.9
LC-25-38G	23	25.4			504	31.7	12.65	4.1	183	63.2	0.07	133	4.41	0.98
LC-25-38G	25.4	28			473.1	37.1	16.35	2.1	196	76.9	0.08	149	5.43	0.84
LC-25-38G	28	29.6			697.9	55.1	16.5	3.3	246	115.5	0.14	245	5.48	7.12
LC-25-38G	29.6	31.3			773.3	173	8.52	3.3	172	85	0.52	178	5.79	3.94
LC-25-38G	31.3	32.9			1723.3	186	9.18	5.5	193	78.8	0.56	221	7.05	4.17
LC-25-38G	32.9	34.7			802.8	59.5	9.78	4.4	164	83.9	0.18	197	4.39	4.77
LC-25-38G	34.7	36.8			1054.2	145	11.2	4.5	184	81.7	0.52	165	7.37	4.32
LC-25-38G	36.8	39.5			678.9	56.1	14.1	3.8	214	74	0.17	183	5.53	3.48
LC-25-38G	39.5	41.9			862.8	187	11.9	5.7	187	80.1	0.31	157	5.5	2
LC-25-38G	41.9	43.5			970.6	108.5	9.45	5.6	211	85.5	0.31	185	5.42	4.64
LC-25-38G	43.5	44.5			630.2	34.8	15.3	2.4	232	73	0.08	129	5.17	0.61
LC-25-38G	44.5	47			513.6	30.2	12.2	6.1	142	57.3	0.11	106	4.58	0.44
LC-25-38G	47	47.9			640.4	60.7	7.54	12.6	89	30.1	0.2	47	2.6	0.32
LC-25-38G	47.9	50			1719.5	189.5	10.05	5	365	100	0.64	221	7.22	3.42
LC-25-38G	50	52			1066.9	71.5	13.4	3.6	363	73.8	0.26	161	5.52	1.25
LC-25-38G	52	54.5			745.2	72.1	13.4	4.4	215	75.7	0.26	150	5.51	0.86
LC-25-38G	54.5	57			1171.3	84.5	11.3	3.9	229	53.9	0.33	142	5.31	1.2
LC-25-38G	57	59.4			1260.2	101.5	12.65	6.4	304	71.3	0.4	219	6.21	1.66
LC-25-38G	59.4	61			998.1	51.1	10.7	7	267	107	0.24	140	4.96	0.64
LC-25-38G	61	63			1237.6	94.4	10.4	6.4	414	58.8	0.41	215	5.29	1.92
LC-25-38G	63	65			1343.5	119.5	10.15	5.2	381	75.8	0.49	192	6.21	2.87
LC-25-38G	65	67.5			1137.1	90.7	9.59	5.8	295	57.6	0.32	167	5.01	1.5
LC-25-38G	67.5	70			1177.8	112	10.2	5.6	424	67.2	0.35	233	5.33	2.97
LC-25-38G	70	72.2			1830.7	184.5	11.15	3.7	556	88.5	0.7	276	7	2.6
LC-25-38G	72.2	73.6			1050.1	71.2	10.7	5.4	321	116.5	0.39	166	5.42	3.12
LC-25-38G	73.6	75.8			1209.5	119.5	7.79	6.5	397	90.5	0.82	174	6.73	2.93
LC-25-38G	75.8	77			493.5	47.8	3.01	7.3	221	25.4	0.25	213	2.63	0.72
LC-25-38G	77	79.1			288.7	31.8	0.74	4	127	25.9	0.28	78	1.57	1.27
LC-25-38G	79.1	80.3			1182.6	185.5	1.08	11.1	729	127	0.72	255	6.15	7.17
LC-25-38G	80.3	82.1			259.3	47.9	0.66	5	75	38.4	0.25	88	1.9	1.69
LC-25-38G	82.1	84.5			470.4	82.5	0.69	5.1	212	62.8	0.44	114	2.91	2.8
LC-25-38G	84.5	86.4			487.3	69.4	0.85	5.4	245	44.5	0.3	149	2.45	2.54
LC-25-38G	86.4	88.6			2741.8	474	5.44	15.3	976	196.5	1.54	418	15.75	6.88
LC-25-38G	88.6	90.4			851.7	99.8	6.29	12	254	66.9	0.32	83	4.12	2.8
LC-25-38G	90.4	93			2995.4	341	6.39	43.9	1625	182.5	1.98	885	14.8	15.45
LC-25-38G	93	95.5			1042.9	128.5	5.57	26.4	396	101	0.48	98	5.14	5.68
LC-25-38G	95.5	97.6			2664.7	408	6.65	24.7	976	206	2.08	545	16.9	9.21
LC-25-38G	97.6	99.2			2308.8	425	5.71	22.3	756	191.5	2.26	515	16	8.31
LC-25-38G	99.2	100.3			1227.1	318	3.95	29.6	320	139.5	1.33	154	11.1	1.01
LC-25-38G	100.3	101.7			1342.1	281	3.5	23.6	477	139.5	1.42	75	11.25	0.93
LC-25-38G	101.7	103.1			791.3	144.5	3.99	33.4	268	65.4	0.69	50	5.01	2.3
LC-25-38G	103.1	104.9			858.1	270	3.72	32.6	226	102.5	1.41	92	9.66	1.6
LC-25-38G	104.9	107.5			945	165.5	3.29	16.7	467	67.8	0.93	65	7.25	1.24
LC-25-38G	107.5	110			1538.6	128.5	8.81	17.6	316	71.5	0.88	121	7	2.14
LC-25-38G	110	112			2004.2	140	9.34	19.9	342	77.3	0.82	145	8.29	2.92
LC-25-38G	112	114			2140.5	145.5	9.68	23.8	357	64.2	0.73	176	10.05	2.54
LC-25-38G	114	116.1			1702.9	187.5	7.86	21.9	543	103.5	1.18	235	10.2	5.56
LC-25-38G	116.1	118.6			2222.4	258	5.33	16.4	770	133	1.54	502	11.7	6.32
LC-25-38G	118.6	119.8			1102	146	6.5	14.6	283	79.4	0.75	128	6.95	3.2
LC-25-38G	119.8	122.5			833.7	64.9	11.95	8.1	189	54.7	0.17	92	4.9	0.48
LC-25-38G	122.5	124.8			1012.7	78.6	11.65	6.5	192	55.6	0.24	94	4.51	0.41
LC-25-38G	124.8	127.4			632.5	84.9	8.44	7	170	55.6	0.21	91	4.24	1.42
LC-25-38G	127.4	129.9			701.2	60	9.31	7.7	161	46.5	0.17	74	4.64	0.68
LC-25-38G	129.9	132.4			881.1	82.2	8.84	10.9	194	56	0.22	79	4.69	0.82

Tableau 1 (1 sur 2) - LC-25-38G (Zone sud-est) – Registre de fond de sondage (10,9 à 132,4 m) des intervalles et des analyses des principaux minéraux référencés

Hole ID	From m	To m	Cu+Zn+Pb+ Ni+Mn	Cu (ME- MS41)	Ga (ME-MS41) (ppm)	Pb (ME- MS41)	Zn (ME- MS41)	Ni (ME- MS41)	Ag (ME- MS41)	V (ME- MS41)	Fe (ME- MS41)	Graphitic Carbon
			ppm	ppm	ppm	ppm	ppm	ppm	ppm	ppm	ppm	%
LC-25-38G	132.4	133.2	3054.6	372	4.78	36.6	1695	216	2.14	960	15.8	15.95
LC-25-38G	133.2	134.6	1638.6	77.5	5.99	40.6	307	68.5	0.6	83	7.16	1.45
LC-25-38G	134.6	136.4	1123.6	74.8	8.65	20.8	204	52	0.32	87	4.9	1.06
LC-25-38G	136.4	139.4	2396.5	334	4.06	26.5	1015	218	1.84	598	14.85	12.3
LC-25-38G	139.4	142	4266.1	373	4.99	42.1	2690	236	2.07	538	16.6	8.05
LC-25-38G	142	144.5	2887.8	389	6.84	31.8	929	273	2.1	699	19.1	8.17
LC-25-38G	144.5	146.8	3938.6	456	5.54	44.6	2160	253	2.32	759	17.45	9.84
LC-25-38G	146.8	149.6	2747.6	347	4.8	42.1	1260	198.5	1.89	631	14	9.22
LC-25-38G	149.6	152.3	552	61.2	1.41	18.3	253	41.5	0.51	123	2.24	2.44
LC-25-38G	152.3	154.4	776.1	81.6	3.1	21.9	142	81.6	0.54	131	3.96	1.59
LC-25-38G	154.4	157.4	1037.8	161	4.13	21.8	323	106	0.89	57	7.17	4.06
LC-25-38G	157.4	158.7	1330.5	139	4.08	25.6	338	88.9	0.92	94	6.35	2.17
LC-25-38G	158.7	161.3	3259.2	287	6.76	39.2	1525	233	2.06	853	15.6	13.05
LC-25-38G	161.3	163.5	4426.2	343	8.57	42.2	2510	251	2.96	1220	17.95	19.5
LC-25-38G	163.5	165.7	3810	552	8.32	47	1585	301	3.54	1300	20.4	21.6
LC-25-38G	165.7	168.1	4792.4	307	6.54	48.4	2840	222	3.15	738	15.65	13.6
LC-25-38G	168.1	169.1	2276	245	4.76	36.5	668	156.5	1.48	181	10.2	3.28
LC-25-38G	169.1	170.7	2522.2	237	8.09	24.2	707	204	1.6	522	11.95	6.66
LC-25-38G	170.7	173	3436.6	406	7.05	43.6	1285	312	2.63	1145	21	18.75
LC-25-38G	173	174.8	3405.3	310	8.76	31.3	1370	219	2.24	775	15.9	9.34
LC-25-38G	174.8	177	1379.7	123.5	7.02	29.3	320	62.9	0.82	96	5.59	1.36
LC-25-38G	177	179.5	1110.2	116	6.05	6.2	270	64	0.55	87	5.09	2.15
LC-25-38G	179.5	182	1041.5	88.1	6.52	3.1	229	56.3	0.33	101	4.64	1.87
LC-25-38G	182	184.5	1042.8	93.6	7.65	3.6	258	63.6	0.33	115	4.97	2.05
LC-25-38G	184.5	186.3	1425.7	142	4.15	8.2	293	103.5	1	82	6.29	3.63
LC-25-38G	186.3	187.4	3484.2	203	3.94	11.7	2140	158.5	1.5	361	9.02	13.45
LC-25-38G	187.4	188.8	1512.7	229	4.08	13.7	297	196	1.55	108	11.5	3.69
LC-25-38G	188.8	189.7	4113.3	404	7.32	28.3	2160	306	1.84	1160	18.1	7.02
LC-25-38G	189.7	192.3	4140	418	6.17	36	2180	311	3.56	1500	19.25	24.7
LC-25-38G	192.3	194.4	871.8	58.7	6.89	5.9	149	43.2	0.42	98	4.13	0.6
LC-25-38G	194.4	197	580.9	73	11.3	2.5	162	48.4	0.17	96	4.16	0.6
LC-25-38G	197	199.5	560.1	84.1	11.2	2.8	162	49.2	0.13	97	4.05	0.43
LC-25-38G	199.5	202.1	666.6	92.3	11.85	2.7	187	54.6	0.16	122	4.5	0.87
LC-25-38G	202.1	204.5	583.7	54.3	11.9	2.6	163	48.8	0.17	83	4.72	0.26
LC-25-38G	204.5	207.1	771.9	55.3	7.59	9	186	42.6	0.4	64	3.91	0.26
LC-25-38G	207.1	209.2	1112.5	52.5	9.4	18.1	205	59.9	0.87	74	4.47	0.26
LC-25-38G	209.2	210.5	3150.7	364	6.39	23.2	1430	198.5	2.45	1145	12.5	12.5
LC-25-38G	210.5	213	3527.5	381	6.66	34.5	1505	277	5.5	1445	17.35	20.6
LC-25-38G	213	214.8	4168.6	503	7.55	27.6	1855	323	3.15	1760	20.4	17
LC-25-38G	214.8	216.1	3722.9	439	6.57	28.9	1640	365	3.39	1460	23.2	19.9
LC-25-38G	216.1	217.7	1340.3	104	9.56	25	312	68.3	0.41	223	5.61	1.34
LC-25-38G	217.7	220	675.9	86.4	10.7	6.6	206	54.9	0.23	97	4.15	0.65
LC-25-38G	220	222	1716	148.5	11.15	13.8	193	80.7	0.44	109	4.26	0.6
LC-25-38G	222	224.4	1849.3	111	10.6	3.7	181	88.6	0.23	87	3.18	0.23
LC-25-38G	224.4	226.4	709.3	56.4	11.7	4.6	140	52.3	0.15	91	3.81	0.19
LC-25-38G	226.4	228	470.4	28.7	11.55	4.1	138	42.6	0.13	83	3.67	0.2

Tableau 1 (2 sur 2) - LC-25-38G (zone sud-est) – Registre de fond de sondage (132,4 à 228 m) des intervalles et des analyses des principaux minéraux référencés

Hole ID	From m	To m	Cu+Zn+Pb+Ni+Mn		Cu (ME-MS41)	Ga (ME-MS41) (ppm)	Pb (ME-MS41)	Zn (ME-MS41)	Ni (ME-MS41)	Ag (ME-MS41)	V (ME-MS41)	Fe (ME-MS41)	Graphitic Carbon
			ppm	ppm									
LC-25-46	4.6	6.5	358.6	52.1	12.5	2.9	135	61.6	0.09	123	4.23	0.39	
LC-25-46	6.5	8.5	818.9	144.5	9.63	3.4	206	77	0.37	171	4.82	2.81	
LC-25-46	8.5	11	1245.3	119.5	9.17	3.4	354	80.4	0.47	174	5.66	2.06	
LC-25-46	11	13.5	543.4	68.1	12.1	2.4	200	70.9	0.19	129	4.76	0.92	
LC-25-46	13.5	16	400.5	55.6	13.1	1.6	139	70.3	0.1	122	4.29	0.4	
LC-25-46	16	18.5	385.1	66.8	11.95	2.3	124	57	0.1	114	3.94	0.34	
LC-25-46	18.5	21	591.9	130.5	10.5	3	165	66.4	0.26	150	4.74	1.08	
LC-25-46	21	23.5	728.5	98.6	12	2.7	224	75.2	0.32	152	5.12	1.13	
LC-25-46	23.5	26	695.6	31.5	14.7	2.9	274	66.2	0.1	132	4.63	0.64	
LC-25-46	26	28.5	1272.7	158.5	8.79	5.1	372	90.1	0.57	206	6.23	3.44	
LC-25-46	28.5	31	618	39.5	13.4	3.2	224	65.3	0.13	126	4.74	0.73	
LC-25-46	31	33.5	1102.2	129.5	9.95	5.2	329	88.5	0.5	222	5.95	2.75	
LC-25-46	33.5	36	1342.3	115.5	10.05	4.5	320	65.3	0.52	169	6.14	2.26	
LC-25-46	36	38.5	1254.7	137.5	8.5	3.3	395	74.9	0.67	190	6.31	3.5	
LC-25-46	38.5	41	1026.9	125.5	10.15	4.7	343	59.7	0.43	184	5.37	1.91	
LC-25-46	41	43.5	682.5	51	12.4	3	186	59.5	0.17	130	4.44	0.78	
LC-25-46	43.5	46	941.3	87.6	11.25	2.9	212	56.8	0.3	150	5.18	1.65	
LC-25-46	46	49	869.7	125.5	9.04	3.9	252	73.3	0.42	170	5.45	3.65	
LC-25-46	49	51	858.1	117	9.96	4	215	87.1	0.45	133	6.23	1.8	
LC-25-46	51	52.5	811.8	97	12.15	6.2	265	69.6	0.35	185	5.4	2.23	
LC-25-46	52.5	55	953.9	128.5	9.09	5	369	97.4	0.45	234	5.64	4.63	
LC-25-46	55	57.5	886.9	100.5	10.05	4.5	326	89.9	0.38	210	5.06	4.83	
LC-25-46	57.5	60	910.9	106	9.55	5.2	321	84.7	0.43	184	5.21	4.19	
LC-25-46	60	62.5	882.7	118	8.97	5	309	86.7	0.44	172	5.18	3.98	
LC-25-46	62.5	64.8	789.4	70.8	10.25	4.2	209	58.4	0.2	124	4.78	1.81	
LC-25-46	64.8	67	1417.7	180	4.26	6.2	732	72.5	0.97	106	7.8	2.41	
LC-25-46	67	69.5	819.2	144.5	4.63	8.5	207	72.2	1.02	62	6.79	1.74	
LC-25-46	69.5	72	943.3	125	6.32	5.6	224	79.7	0.63	60	6.94	1.23	
LC-25-46	72	74.9	1316.2	156	7.08	7.8	404	98.4	0.82	99	8.16	3.42	
LC-25-46	74.9	77.5	1271.7	154	2.1	31.3	802	57.4	0.81	44	6.1	0.77	
LC-25-46	77.5	80	946.5	146	3.69	35.8	312	63.7	0.86	57	6.68	0.98	
LC-25-46	80	82.5	1179.1	230	2.87	37.3	377	94.8	1.25	86	8.9	1.08	
LC-25-46	82.5	84.6	2298.8	315	3.95	45.3	791	137.5	1.92	267	13.75	7.02	
LC-25-46	84.6	87.1	2534.5	395	4.97	27	332	175.5	2.4	227	17.1	3.34	
LC-25-46	87.1	89.5	2417.3	444	5.76	40.8	743	169.5	2.67	412	16.6	8.95	
LC-25-46	89.5	91.4	2517.3	463	4.29	45.3	952	186	2.94	311	18.2	9.37	
LC-25-46	91.4	93.7	2702.5	387	4.3	23	453	184.5	2.3	249	17.95	5.14	
LC-25-46	93.7	96	1049	294	1.97	37.4	298	99.6	1.68	61	12.05	0.79	
LC-25-46	96	98.5	1418.1	222	4.09	27.8	468	74.3	1.35	102	9.7	0.69	
LC-25-46	98.5	101	1259	209	1.98	61.7	546	79.3	1.68	71	8.84	0.96	
LC-25-46	101	103.2	1034.9	246	2.34	24.1	266	89.8	1.58	72	9.78	0.99	
LC-25-46	103.2	105.2	1494.7	238	5.79	23.7	348	115	1.66	284	10.9	4.31	
LC-25-46	105.2	107	2436.1	429	6.55	31.1	709	207	2.17	634	17.8	9.68	
LC-25-46	107	108.8	1523.5	129.5	6.04	21	644	126	0.82	384	7.2	8.98	
LC-25-46	108.8	111	3460.1	365	7.66	47.6	1790	182.5	2.49	629	16.2	9.83	
LC-25-46	111	112.7	2433.5	288	6.28	34	1000	152.5	1.68	563	12.7	7.52	

Tableau 2 (1 sur 2) - LC-25-46 (Zone de connexion) – Registre de fond (4,6 à 112,7 m) des intervalles et analyses des principaux minéraux référencés

Hole ID	From	To	Cu+Zn+Pb+Ni+Mn		Cu (ME-MS41)	Ga (ME-MS41) (ppm)	Pb (ME-MS41)	Zn (ME-MS41)	Ni (ME-MS41)	Ag (ME-MS41)	V (ME-MS41)	Fe (ME-MS41) %	Graphitic Carbon %
			ppm	ppm									
LC-25-46	112.7	115	761.5	88.5	11.25	8.2	244	62.8	0.31	116	4.6	1.38	
LC-25-46	115	117.5	664.2	104.5	10.75	8	239	65.7	0.36	120	4.22	1.6	
LC-25-46	117.5	120	634	106.5	11.35	4.4	215	64.1	0.38	117	4.59	1.58	
LC-25-46	120	122.5	583.9	94.2	11.8	4.3	197	57.4	0.26	104	4.59	0.86	
LC-25-46	122.5	125	616	92.6	12.4	6.7	198	65.7	0.25	101	4.25	1.07	
LC-25-46	125	127.3	700.1	117	11	4.6	236	72.5	0.35	132	4.31	1.79	
LC-25-46	127.3	129	807.7	112	9.83	4	352	99.7	0.31	106	4.23	1.62	
LC-25-46	129	131	1051.3	83.2	10.3	7.7	387	66.4	0.3	193	5.02	2.01	
LC-25-46	131	133.5	3759.5	462	7.52	36.5	2010	241	2.93	1345	18.3	19.65	
LC-25-46	133.5	136	2768.5	356	6.93	32.5	1125	200	1.91	728	16.65	10	
LC-25-46	136	138	3455.7	441	6.24	40.7	1640	229	2.53	778	17.75	12.25	
LC-25-46	138	139.6	2947.6	452	5.46	50.6	1360	252	3.14	1090	18.85	18.6	
LC-25-46	139.6	142	1666.8	120.5	9.95	28	356	87.3	0.69	216	6.84	2.84	
LC-25-46	142	145	859	93.1	9.67	10.6	262	64.3	0.27	97	4.34	1.37	
LC-25-46	145	147.5	719.8	109	9.33	6.1	254	68.7	0.38	115	3.85	2	
LC-25-46	147.5	150	737.6	101.5	10.3	5.8	217	68.3	0.32	108	4.11	1.48	
LC-25-46	150	152.5	710.2	105	7.88	8.8	275	65.4	0.33	104	3.46	2.16	
LC-25-46	152.5	155	722.8	99.9	8.28	5.3	260	73.6	0.34	113	3.6	-	
LC-25-46	155	157.5	1315	110	8.7	5.9	210	76.1	0.33	87	3.27	-	
LC-25-46	157.5	160	1799.7	127	9.63	3.1	153	81.6	0.19	66	2.93	-	
LC-25-46	160	162.5	1791.6	128	9.3	3.3	154	76.3	0.21	69	2.8	-	
LC-25-46	162.5	165	863.9	81.1	11.3	3.8	151	59	0.16	86	3.72	-	
LC-25-46	165	167.8	452.3	37.6	10.95	4.2	106	44.5	0.09	86	3.53	-	
LC-25-46	167.8	169	486.7	62.8	13.15	3.2	166	54.7	0.13	103	4.35	-	
LC-25-46	169	171	561.3	67.1	11.95	3.8	164	58.4	0.17	98	4.23	-	

Tableau 2 (2 sur 2) - LC-25-46 (Zone de connexion) – Registre de fond (4,6 à 112,7 m) des intervalles et des analyses pour les principaux minéraux référencés

Hole ID	From	To	Cu+Zn+Pb+Ni+Mn		Cu (ME-MS41)	Ga (ME-MS41) (ppm)	Pb (ME-MS41)	Zn (ME-MS41)	Ni (ME-MS41)	Au (ME-MS41)	Ag (ME-MS41)	V (ME-MS41)	Fe (ME-MS41) %	Graphitic Carbon %
			ppm	ppm										
LC-25-10	214	216	1338.2	314		3.65	30.2	542	128	0.02	1.9	103	11.75	-
LC-25-10	222.5	224	739.3	144		3.34	18.6	260	59.7	-0.02	0.89	58	5.86	0.72
LC-25-10	226	228	1337.8	116.5		10.9	7.9	283	63.4	-0.02	0.35	190	6.96	10.05
LC-25-10	229.4	231	1259.3	97.8		7.67	8.1	279	65.4	-0.02	0.49	123	5.76	4.34
LC-25-10	233.1	234.1	1010.1	186.5		4.49	9.1	207	111.5	-0.02	0.96	82	9.68	8.11
LC-25-10	236.7	239	1134.9	89		6.3	4.8	301	56.1	-0.02	0.49	134	5.55	11.1
LC-25-10	241.5	243	1589.2	60.8		8.48	12.7	332	38.7	-0.02	0.3	136	4.89	16.9
LC-25-10	245.5	247.8	1095.5	157		4.2	14	212	113.5	-0.02	1.02	72	9.9	13.35
LC-25-10	247.8	250	1058.5	143		5.4	17	294	99.5	-0.02	0.82	85	6.85	4.15
LC-25-10	252.5	255	1671.7	124		4.83	31.4	313	68.3	-0.02	0.83	71	5.71	5.36
LC-25-10	257.5	260	4069.1	416		2.4	30.1	2110	383	-0.02	3.66	73	31.4	7.27
LC-25-10	260	262.5	1685.6	189.5		5.6	19.9	260	91.2	-0.02	1.1	101	7.59	4.87
LC-25-10	265	267.5	1670.6	202		2.84	115.5	448	89.1	0.83	3.5	64	6.74	8.44
LC-25-10	267.5	270	2868	284		3.16	23	1215	156	-0.02	1.8	88	10.9	5.08

Tableau 3- LC-25-10 (Zone sud-est) – Intervalle de forage (214 à 270 m) – intervalles et analyses, y compris l'or

Informations complémentaires :

Pour plus d'informations, rendez-vous sur metalsaustralia.com.au/ ou contactez :

Paul Ferguson
 Chef de la direction
info@metalsaustralia.com.au

Tanya Newby
 Directrice financière/Secrétaire
 générale adjointe
 +61 (08) 9481 7833

Elizabeth Michael
 Relations avec les investisseurs
info@metalsaustralia.com.au

CONFORMITÉ AUX RÈGLES DE COTATION DE L'ASX

Pour préparer cette annonce, la Société s'est appuyée sur les annonces précédemment publiées par la Société et répertoriées sous la rubrique « Références ». La Société confirme qu'elle n'a connaissance d'aucune nouvelle information ou donnée susceptible d'avoir une incidence significative sur ces annonces précédentes et, dans le cas des estimations des ressources minérales, que toutes les hypothèses et tous les paramètres techniques importants qui sous-tendent les estimations figurant dans les annonces pertinentes destinées au marché continuent de s'appliquer et n'ont pas changé de manière significative, ou qui pourraient avoir une incidence significative sur la Société si elle se fondait sur ces annonces aux fins de la présente annonce.

MISE EN GARDE CONCERNANT LES INFORMATIONS PROSPECTIVES

Ce document contient des déclarations prospectives concernant Metals Australia Limited. Les déclarations prospectives ne sont pas des déclarations de faits historiques et les événements et résultats réels peuvent différer sensiblement de ceux décrits dans les déclarations prospectives en raison de divers risques, incertitudes et autres facteurs. Les déclarations prospectives sont intrinsèquement soumises à des incertitudes et à des imprévus d'ordre commercial, économique, concurrentiel, politique et social. De nombreux facteurs pourraient faire en sorte que les résultats réels de la Société diffèrent sensiblement de ceux exprimés ou sous-entendus dans les informations prospectives fournies par la Société ou en son nom. Ces facteurs comprennent, entre autres, les risques liés aux besoins de financement supplémentaires, aux prix des métaux, aux risques liés à l'exploration, au développement et à l'exploitation, à la concurrence, aux risques liés à la production, aux restrictions réglementaires, y compris la réglementation et la responsabilité environnementales, et aux litiges potentiels relatifs aux titres de propriété.

Les énoncés prospectifs contenus dans le présent document sont fondés sur les croyances, les opinions et les estimations de Metals Australia Limited à la date à laquelle ils ont été formulés, et aucune obligation n'est assumée de mettre à jour les énoncés prospectifs si ces croyances, opinions et estimations devaient changer ou pour refléter d'autres développements futurs.

DÉCLARATIONS DE PERSONNES COMPÉTENTES

Les informations contenues dans le présent document qui se rapportent aux essais métallurgiques sont basées sur les informations et les documents justificatifs examinés par M. Oliver Peters, M.Sc., P.Eng., membre de l'Ordre des ingénieurs de l'Ontario (PEO), et les représentent fidèlement. M. Peters est métallurgiste principal et président de Metpro Management Inc., qui a été engagé par Metals Australia Ltd pour fournir des services de conseil en métallurgie. M. Peters a approuvé et consenti à l'inclusion dans le présent document des informations basées sur ses propres données, sous la forme et dans le contexte dans lesquels elles apparaissent.

Les résultats d'exploration présentés dans le présent rapport proviennent de forages réalisés en 2025 et précédemment rapportés pour la minéralisation graphitique. Aucun nouveau forage n'a été effectué. Les informations contenues dans le présent rapport sont basées sur les résultats analytiques multi-éléments plus larges provenant de forages précédemment rapportés.

Les informations contenues dans le présent rapport qui font référence aux résultats d'exploration et aux divulgations antérieures sont basées sur les informations compilées et examinées par M. Chris Ramsay et les reflètent fidèlement. M. Ramsay (BSc (Geol), M.App.Proj.Mngt, FAusIMM) est membre de l'Institut australasien des mines et de la métallurgie et directeur général de la géologie chez Metals Australia Ltd. M. Ramsay détient des actions dans la société. M. Ramsay possède une expérience suffisante en matière de minéralisation et de type de gisement à l'étude, ainsi que dans le domaine d'activité de la société, pour être considéré comme une

personne compétente au sens de l'édition 2012 du Code australasien pour la déclaration des résultats d'exploration, des ressources minérales et des réserves de minerai (code JORC). M. Ramsay consent à la divulgation des informations contenues dans le présent rapport sous la forme et dans le contexte dans lesquels elles apparaissent.

ANNEXE 1 – Informations sur le forage (Toutes).

Forage	Vers l'est	Vers le nord	Élévation	Azimut	Plongée	Profondeur	Type de forage	Objectif	Récupération globale
LC-25-01	631 742	5 829 116	654	30	50	261	NQ Core	Définition des ressources	>99%
LC-25-02	631 823	5 829 139	660	30	45	270	NQ Core	Définition des ressources	>99%
LC-25-03	631 810	5 829 119	658	30	50	267	NQ Core	Définition des ressources	>99%
LC-25-04	631 898	5 829 078	656	30	45	285	NQ Core	Définition des ressources	>99%
LC-25-05	631 883	5 829 053	653	30	50	271	NQ Core	Définition des ressources	>99%
LC-25-06	631 998	5 829 050	657	30	45	270	NQ Core	Définition des ressources	>99%
LC-25-07	631 930	5 829 128	659	30	45	195	NQ Core	Définition des ressources	>99%
LC-25-08	632 037	5 829 110	661	30	45	272	NQ Core	Définition des ressources	>99%
LC-25-09	631 723	5 829 162	658	30	57	261	NQ Core	Définition des ressources	>99%
LC-25-10	631 772	5 829 165	660	30	48	270	NQ Core	Définition des ressources	98%
LC-25-11	632 119	5 829 063	661	30	45	180	NQ Core	Définition des ressources	>99%
LC-25-12	632 224	5 829 037	660	30	45	180	NQ Core	Définition des ressources	98%
LC-25-13	631 713	5 829 146	656	30	62	243	NQ Core	Définition des ressources	>99%
LC-25-14W	631 874	5 829 223	646	30	45	129	NQ Core	Déf. des ressources & Piezo	>99%
LC-25-15	631 699	5 829 213	662	30	45	210	NQ Core	Définition des ressources	>99%
LC-25-16	631 847	5 829 180	652	30	47	180	NQ Core	Définition des ressources	>99%
LC-25-17	631 637	5 829 272	661	15	45	207	NQ Core	Définition des ressources	>99%
LC-25-18	631 866	5 829 113	657	30	52	291	NQ Core	Définition des ressources	>99%
LC-25-19W	631 546	5 829 237	656	17,5	45	219	NQ Core	Définition des ressources	>99%
LC-25-20	631 885	5 829 143	657	30	50	249	NQ Core	Définition des ressources	>99%
LC-25-21	631 801	5 829 208	656	30	45	183	NQ Core	Définition des ressources	>99%
LC-25-22	631 630	5 829 200	659	30	50	219	NQ Core	Définition des ressources	>99%
LC-25-23	632 192	5 829 063	661	15	49	123	NQ Core	Définition des ressources	>99%
LC-25-24G	631 580	5 829 213	657	30	56	297	NQ Core	Resource Def. & Geotech	>99%
LC-25-25	632 182	5 829 029	660	15	53	165	NQ Core	Définition des ressources	>99%
LC-25-26	632 139	5 829 091	663	18	45	105	NQ Core	Définition des ressources	>99%
LC-25-27G	632 111	5 829 014	659	18	46	193	NQ Core	Déf. des ressources & Geotech	>99%
LC-25-28	631 613	5 829 419	665	210	53	147	NQ Core	Définition des ressources	>99%
LC-25-29	632 073	5 829 058	661	25	49	168	NQ Core	Définition des ressources	>99%
LC-25-30	631 550	5 829 411	665	210	45	198	NQ Core	Définition des ressources	>99%
LC-25-31	632 090	5 829 094	662	25	47	156	NQ Core	Définition des ressources	>99%
LC-25-32G	631 559	5 829 426	666	210	55	220	NQ Core	Déf. des ressources & Geotech	>99%
LC-25-33	631 986	5 829 122	659	30	46	165	NQ Core	Définition des ressources	>99%
LC-25-34	631 502	5 829 465	662	210	58	219	NQ Core	Définition des ressources	>99%
LC-25-35	631 970	5 829 098	659	30	48	222	NQ Core	Définition des ressources	>99%
LC-25-36G	631 955	5 829 073	657	30	52	246	NQ Core	Définition des ressources	>99%
LC-25-37	631 904	5 829 173	653	30	45	150	NQ Core	Resource Def. & Geotech	>99%
LC-25-38G	631 338	5 829 391	657	30	45	228	NQ Core	Définition des ressources	>99%
LC-25-39	632 202	5 829 093	664	15	48	84	NQ Core	Définition des ressources	>99%
LC-25-40G	632 060	5 829 145	661	30	45	90	NQ Core	Resource Def. & Geotech	>99%
LC-25-41	631 319	5 829 451	657	30	50	174	NQ Core	Définition des ressources	>99%
LC-25-42G/W	631 233	5 829 500	655	30	45	171	NQ Core	Déf. des ress. & Geotech & Piezo	>99%
LC-25-43	631 392	5 829 378	660	30	45	192	NQ Core	Définition des ressources	>99%
LC-25-44	631 021	5 829 627	650	30	45	195	NQ Core	Définition des ressources	>99%
LC-25-45	631 132	5 829 620	646	30	45	150	NQ Core	Définition des ressources	>99%
LC-25-46	630 853	5 829 747	656	30	45	171	NQ Core	Définition des ressources	>99%
LC-25-47	630 950	5 829 711	652	30	45	141	NQ Core	Définition des ressources	>99%
Total = 47	* NAD83	Zone UTM	19N			9 482 m	2025	Forage	
LR-19-01	631 601	5 829 242	660,3	30	50	198	NQ Core	Définition des ressources	>99%

Forage	Vers l'est	Vers le nord	Élévation	Azimut	Plongée	Profondeur	Type de forage	Objectif	Récupération globale
LR-19-02	631 639	5 829 227	662,9	30	45	99	NQ Core	Définition des ressources	>99%
LR-19-03	631 684	5 829 197	658,5	30	50	111	NQ Core	Définition des ressources	>99%
LR-19-04	631 737	5 829 186	660,4	30	55	120	NQ Core	Définition des ressources	>99%
LR-19-05	631 759	5 829 151	656,9	30	50	120	NQ Core	Définition des ressources	>99%
LR-19-06	631 786	5 829 190	661,2	30	50	81	NQ Core	Définition des ressources	>99%
LR-19-07	631 759	5 829 220	662,8	30	50	81	NQ Core	Définition des ressources	>99%
LR-19-08	631 714	5 829 240	667,3	30	50	81	NQ Core	Définition des ressources	>99%
LR-19-09	631 672	5 829 271	667,9	30	50	90	NQ Core	Définition des ressources	>99%
LR-19-10	631 431	5 829 344	659,4	30	50	198	NQ Core	Définition des ressources	>99%
LR-19-11	630 660	5 829 861	641,2	30	50	126	NQ Core	Définition des ressources	>99%
LR-19-12	630 569	5 829 950	648,8	30	50	117	NQ Core	Définition des ressources	>99%
LR-19-13	630 621	5 829 794	653,9	30	45	189	NQ Core	Définition des ressources	>99%
LR-19-14	630 536	5 829 846	659,5	30	45	192	NQ Core	Définition des ressources	>99%
LR-19-15	630 455	5 829 912	657,6	30	45	199	NQ Core	Définition des ressources	>99%
LR-19-16	630 360	5 829 955	660,9	30	45	153	NQ Core	Définition des ressources	>99%
LR-19-17	630 286	5 829 992	661,8	15	45	162	NQ Core	Définition des ressources	>99%
Sous-total - 17	Grid NAD83	Zone UTM	19N			2 310 m	2019	Forage	
Grand total - 64	Grid NAD83	Zone UTM	19N			11 792 m	Tout	Forage	

ANNEXE 2 Résultats des forages de graphite de la campagne de forage 2025 (toutes les intersections significatives).

Forage	Longueur du fond de forage (m)		Carbone graphitique (%)	Soufre total (%)	Profondeur du fond du forage & (profondeur verticale)	Profondeur du trou de forage jusqu'à & (profondeur verticale)	% Cg x m
LC-25-01	2,5	m@	2,3	& 1,9	67m & (47m)	69,5m & (49m)	6
LC-25-01	9,0	m@	4,7	& 3,1	74,5m & (52m)	83,5m & (58m)	42
LC-25-01	13,0	m@	2,8	& 1,7	107m & (75m)	120m & (84m)	36
LC-25-01	2,4	m@	3,2	& 3,5	138,5m & (97m)	140,9m & (99m)	8
LC-25-01	42,2	m@	17,2	& 9,3	141m & (99m)	183,2m & (128m)	726
LC-25-01	49,0	m@	5,6	& 6,4	188m & (132m)	237m & (166m)	274
LC-25-01	22,0	m@	7,6	& 8,6	239m & (167m)	261m & (183m)	168
LC-25-02	2,8	m@	9,4	& 9,4	36,7m & (26m)	39,5m & (28m)	26
LC-25-02	17,0	m@	18,9	& 11,7	54,5m & (38m)	71,5m & (50m)	322
LC-25-02	46,0	m@	11,6	& 9,9	95,4m & (67m)	141,4m & (99m)	534
LC-25-02	39,8	m@	7,4	& 8,4	198,5m & (139m)	238,3m & (167m)	296
LC-25-02	Incl. 6	m@	15,8	& 9,2	216m & (151m)	222m & (155m)	95
LC-25-02	19,5	m@	9,2	& 8,1	240,5m & (168m)	260m & (182m)	180
LC-25-02	Incl. 10,3	m@	14,8	& 11,8	247,2m & (173m)	257,5m & (180m)	152
LC-25-03	22,5	m@	3,8	& 2,2	12,5m & (9m)	35m & (25m)	87
LC-25-03	11,5	m@	3,9	& 3,1	66m & (46m)	77,5m & (54m)	45
LC-25-03	28,7	m@	12,9	& 5,4	84,5m & (59m)	113,2m & (79m)	370
LC-25-03	Incl. 15,3	m@	21,7	& 7,5	98,1m & (69m)	113,4m & (79m)	333
LC-25-03	27,4	m@	11,0	& 9,0	130,65m & (91m)	158m & (111m)	302
LC-25-03	6,6	m@	3,8	& 2,8	162,4m & (114m)	169m & (118m)	25

Forage	Longueur du fond de forage (m)		Carbone graphitique (%)	Soufre total (%)	Profondeur du fond du forage & (profondeur verticale)	Profondeur du trou de forage jusqu'à & (profondeur verticale)	% Cg x m
LC-25-03	15,0	m @	7,9	& 9,9	195,3m & (137m)	210,3m & (147m)	119
LC-25-03	44,5	m @	8,8	& 9,8	222,5m & (156m)	267m & (187m)	391
<i>LC-25-03</i>	<i>Incl. 25,5</i>	<i>m @</i>	<i>9,8</i>	<i>& 10,4</i>	<i>241,5m & (169m)</i>	<i>267m & (187m)</i>	<i>251</i>
LC-25-04	2,3	m @	5,4	& 6,1	25,9m & (18m)	28,15m & (19,705m)	12
LC-25-04	27,0	m @	15,9	& 12,3	33m & (23m)	60m & (42m)	430
LC-25-04	14,6	m @	11,5	& 10,0	75,5m & (53m)	90,1m & (63,07m)	168
LC-25-04	70,1	m @	8,7	& 9,0	114,9m & (80m)	185m & (129,5m)	611
<i>LC-25-04</i>	<i>Inc., 20</i>	<i>m @</i>	<i>14,5</i>	<i>& 11,3</i>	<i>117,5m & (82m)</i>	<i>137,5m & (96,25m)</i>	<i>289</i>
LC-25-04	72,4	m @	15,0	& 11,4	201,5m & (141m)	273,85m & (191,695m)	1088
LC-25-05	16,5	m @	3,8	& 1,7	60,5m & (42m)	77m & (53,9m)	63
LC-25-05	36,0	m @	9,4	& 9,0	130,5m & (91m)	166,5m & (116,55m)	337
<i>LC-25-05</i>	<i>Incl. 20</i>	<i>m @</i>	<i>13,4</i>	<i>& 11,2</i>	<i>139m & (97m)</i>	<i>159m & (111,3m)</i>	<i>267</i>
LC-25-05	87,8	m @	13,1	& 11,6	182,7m & (128m)	270,5m & (189,35m)	1150
LC-25-05	Incl. 62,5	m @	16,0	& 13,4	192m & (134m)	254,5m & (178,15m)	1000
LC-25-06	158,0	m @	11,4	& 10,6	60m & (42m)	218m & (152,6m)	1809
<i>LC-25-06</i>	<i>Incl. 80,5</i>	<i>m @</i>	<i>15,5</i>	<i>& 12,2</i>	<i>137,5m & (96,25m)</i>	<i>218m & (152,6m)</i>	<i>1245</i>
LC-25-06	3,1	m @	22,8	& 19,4	223,9m & (156,73m)	227m & (158,9m)	71
LC-25-07	51,0	m @	12,4	& 9,0	42m & (29m)	93m & (65,1m)	632
<i>LC-25-07</i>	<i>Incl. 39</i>	<i>m @</i>	<i>14,1</i>	<i>& 10,1</i>	<i>43,5m & (30m)</i>	<i>82,5m & (57,75m)</i>	<i>552</i>
LC-25-07	17,6	m @	6,7	& 7,5	130,9m & (92m)	148,5m & (103,95m)	119
LC-25-07	Incl. 3,7	m @	10,8	& 11,3	130,9m & (92m)	134,6m & (94,22m)	40
LC-25-07	8,5	m @	20,4	& 15,6	177m & (124m)	185,5m & (129,85m)	173
LC-25-07	Incl. 22	m @	12,4	& 11,3	163,5m & (114m)	185,5m & (129,85m)	273
LC-25-08	40,1	m @	9,7	& 7,9	1,4m & (0,98m)	41,5m & (29,05m)	389
<i>LC-25-08</i>	<i>Incl. 22,6</i>	<i>m @</i>	<i>13,5</i>	<i>& 10,7</i>	<i>1,4m & (0,98m)</i>	<i>24m & (16,8m)</i>	<i>304</i>
<i>LC-25-08</i>	<i>& Incl. 2,1</i>	<i>m @</i>	<i>10,8</i>	<i>& 6,8</i>	<i>39,4m & (27,58m)</i>	<i>41,5m & (29,05m)</i>	<i>23</i>
LC-25-08	2,6	m @	10,6	& 11,1	66,2m & (46,34m)	68,8m & (48,16m)	27
LC-25-08	55,5	m @	12,1	& 7,8	58,5m & (40,95m)	114m & (79,8m)	670
LC-25-08	Incl. 41,3	m @	14,6	& 8,8	72,7m & (50,89m)	114m & (79,8m)	603
LC-25-09	9,9	m @	6,6	& 7,9	6,7m & (5m)	16,6m & (12m)	66
LC-25-09	50,2	m @	12,0	& 11,3	37,3m & (26m)	87,5m & (61m)	603
<i>LC-25-09</i>	<i>Incl. 32,7</i>	<i>m @</i>	<i>14,1</i>	<i>& 11,3</i>	<i>37,3m & (26m)</i>	<i>70m & (49m)</i>	<i>460</i>
LC-25-09	39,8	m @	14,1	& 7,5	115,4m & (81m)	155,2m & (109m)	563
<i>LC-25-09</i>	<i>Incl. 24,2</i>	<i>m @</i>	<i>20,9</i>	<i>& 9,6</i>	<i>131m & (92m)</i>	<i>155,2m & (109m)</i>	<i>507</i>
LC-25-09	44,1	m @	9,7	& 10,2	164m & (115m)	208,1m & (146m)	427
LC-25-09	33,8	m @	5,6	& 6,3	224m & (157m)	257,8m & (180m)	189
LC-25-10	32,0	m @	12,8	& 10,8	0,7m & (0m)	32,7m & (23m)	411
<i>LC-25-10</i>	<i>Incl. 14,3</i>	<i>m @</i>	<i>19,1</i>	<i>& 10,9</i>	<i>0,7m & (0m)</i>	<i>15m & (11m)</i>	<i>274</i>
LC-25-10	20,8	m @	13,2	& 8,6	70,9m & (50m)	91,65m & (64m)	274
LC-25-10	Incl. 17,7	m @	15,3	& 9,8	70,9m & (50m)	88,6m & (62m)	270
LC-25-10	30,5	m @	10,1	& 8,2	93m & (65m)	123,5m & (86m)	309
LC-25-10	Incl. 18,6	m @	14,5	& 11,8	104,9m & (73m)	123,5m & (86m)	270
LC-25-10	4,6	m @	12,6	& 7,8	133,9m & (94m)	138,5m & (97m)	58
LC-25-10	10,9	m @	5,3	& 5,9	177,5m & (124m)	188,4m & (132m)	57
LC-25-10	4,0	m @	3,4	& 4,4	191m & (134m)	195m & (137m)	14
LC-25-10	46,0	m @	7,8	& 8,3	224m & (157m)	270m & (189m)	358
LC-25-10	Incl. 11,1	m @	14,7	& 10,1	236,7m & (166m)	247,8m & (173m)	163

Forage	Longueur du fond de forage (m)		Carbone graphitique (%)	Soufre total (%)		Profondeur du fond du forage & (profondeur verticale)	Profondeur du trou de forage jusqu'à & (profondeur verticale)	% Cg x m
LC-25-11	94,8	m @	13,6	&	12,1	8,9m & (6m)	103,7m & (73m)	1289
LC-25-13	26,6	m @	6,1	&	7,2	36,5m & (26m)	63,1m & (44m)	161
LC-25-12	Incl. 11,4	m @	3,3	&	2,0	36,6m & (26m)	48m & (34m)	38
LC-25-12	40,2	m @	16,1	&	12,7	50,8m & (36m)	91m & (64m)	647
LC-25-13	7,4	m @	15,1	&	7,8	143,1m & (100m)	150,5m & (105m)	112
LC-25-13	14,9	m @	13,0	&	11,2	174,4m & (122m)	189,3m & (133m)	194
LC-25-13	Incl. 11	m @	15,4	&	12,7	177m & (124m)	188m & (132m)	169
LC-25-13	9,9	m @	4,1	&	3,8	211,6m & (148m)	221,5m & (155m)	41
LC-25-14	6,1	m @	19,9	&	14,6	8,2m & (6m)	14,25m & (10m)	120
LC-25-14	22,8	m @	12,2	&	9,6	37,7m & (26m)	60,5m & (42m)	279
LC-25-14W	33,5	m @	15,5	&	11,7	5,5m & (4m)	39m & (27m)	520
LC-25-15	53,1	m @	14,3	&	9,6	17,9m & (13m)	71m & (50m)	759
LC-25-15	19,5	m @	4,9	&	6,4	116,5m & (82m)	136m & (95m)	96
LC-25-15	18,2	m @	10,6	&	8,0	150m & (105m)	168,2m & (118m)	193
LC-25-15	Incl. 6,3	m @	16,5	&	10,9	162m & (113m)	168,3m & (118m)	104
LC-25-16	41,8	m @	10,8	&	9,4	35,8m & (25m)	77,6m & (54m)	452
LC-25-16	7,3	m @	5,1	&	5,3	82,5m & (58m)	89,8m & (63m)	38
LC-25-16	40,5	m @	7,0	&	8,1	116m & (81m)	156,5m & (110m)	284
LC-25-16	12,3	m @	6,9	&	5,2	161,5m & (113m)	173,8m & (122m)	85
LC-25-17	44,3	m @	15,2	&	11,0	21,5m & (15m)	65,8m & (46m)	673
LC-25-17	Incl. 29,9	m @	19,0	&	12,7	36m & (25m)	65,8m & (46m)	570
LC-25-17	24,3	m @	19,4	&	10,9	69m & (48m)	93,3m & (65m)	470
LC-25-17	25,2	m @	12,1	&	9,3	126,8m & (89m)	152m & (106m)	304
LC-25-17	Incl. 14,4	m @	15,2	&	11,0	126,8m & (89m)	141,2m & (99m)	219
LC-25-17	34,1	m @	7,9	&	8,6	159,4m & (112m)	193,5m & (135m)	268
LC-25-18	15,6	m @	14,5	&	6,9	5m & (4m)	20,6m & (14m)	226
LC-25-18	Incl. 11,15	m @	17,9	&	7,3	9,4m & (7m)	20,55m & (14m)	200
LC-25-18	14,5	m @	18,8	&	9,1	52,8m & (37m)	67,3m & (47m)	272
LC-25-18	49,0	m @	11,7	&	8,9	92m & (64m)	141m & (99m)	573
LC-25-18	45,1	m @	7,6	&	6,3	145m & (102m)	190,1m & (133m)	344
LC-25-18	70,5	m @	15,9	&	12,5	194,8m & (136m)	265,3m & (186m)	1121
LC-25-18	23,6	m @	16,8	&	12,3	267,4m & (187m)	291m & (204m)	397
LC-25-19	37,4	m @	7,7	&	8,8	7,6m & (5m)	45m & (32m)	288
LC-25-19	34,2	m @	4,9	&	5,9	54m & (38m)	88,2m & (62m)	167
LC-25-19	48,9	m @	11,9	&	10,3	107,1m & (75m)	156m & (109m)	582
LC-25-19	Incl. 23,5	m @	14,4	&	11,1	132,5m & (93m)	156m & (109m)	339
LC-25-19	5,3	m @	12,3	&	9,0	164,8m & (115m)	170,1m & (119m)	65
LC-25-19	25,0	m @	17,4	&	8,8	179,7m & (126m)	204,7m & (143m)	435
LC-25-20	7,0	m @	3,7	&	3,2	4,5m & (3m)	11,5m & (8m)	26
LC-25-20	11,2	m @	14,2	&	8,9	28,8m & (20m)	40m & (28m)	160
LC-25-20	Incl. 7,2	m @	19,2	&	11,5	28,8m & (20m)	36m & (25m)	138
LC-25-20	46,8	m @	12,1	&	9,1	71,6m & (50m)	118,4m & (83m)	568
LC-25-20	Incl. 24,9	m @	16,0	&	10,7	71,6m & (50m)	96,5m & (68m)	398
LC-25-20	37,2	m @	10,9	&	9,0	176,5m & (124m)	213,7m & (150m)	407
LC-25-20	Incl. 26,9	m @	13,2	&	10,9	186,8m & (131m)	213,7m & (150m)	356
LC-25-20	21,5	m @	13,6	&	9,9	218,5m & (153m)	240m & (168m)	293
LC-25-20	Incl. 16,8	m @	15,9	&	11,5	220,8m & (155m)	237,6m & (166m)	267

Forage	Longueur du fond de forage (m)		Carbone graphitique (%)	Soufre total (%)	Profondeur du fond du forage & (profondeur verticale)	Profondeur du trou de forage jusqu'à & (profondeur verticale)	% Cg x m
LC-25-21	28,6	m @	12,3	&	9,4m & (7m)	38m & (27m)	350
LC-25-21	Incl. 19,5	m @	14,5	&	16,1m & (11m)	35,6m & (25m)	282
LC-25-21	30,2	m @	8,1	&	66,4m & (46m)	96,55m & (68m)	245
LC-25-21	18,7	m @	10,9	&	128m & (90m)	146,7m & (103m)	204
LC-25-21	Incl. 8,9	m @	14,7	&	136,1m & (95m)	145m & (102m)	131
LC-25-22	8,3	m @	7,2	&	48,9m & (34m)	57,2m & (40m)	60
LC-25-22	21,2	m @	10,3	&	80,3m & (56m)	101,5m & (71m)	219
LC-25-22	63,7	m @	12,9	&	115,3m & (81m)	179m & (125m)	822
LC-25-22	Incl. 52	m @	14,3	&	122,5m & (86m)	174,5m & (122m)	742
LC-25-22	19,0	m @	4,6	&	192m & (134m)	211m & (148m)	88
LC-25-23	106,8	m @	17,7	&	4m & (3m)	110,8m & (78m)	1892
LC-25-24G	17,3	m @	9,2	&	85m & (60m)	102,3m & (72m)	160
LC-25-24G	37,4	m @	7,1	&	108,4m & (76m)	145,8m & (102m)	266
LC-25-24G	11,1	m @	7,5	&	150,5m & (105m)	161,6m & (113m)	83
LC-25-24G	33,4	m @	16,2	&	183,1m & (128m)	216,5m & (152m)	540
LC-25-24G	Incl. 21,4	m @	21,7	&	190,2m & (133m)	211,6m & (148m)	465
LC-25-24G	50,6	m @	13,0	&	246,4m & (172m)	297m & (208m)	657
LC-25-24G	Incl. 42	m @	14,7	&	246,4m & (172m)	288,4m & (202m)	618
LC-25-25	6,8	m @	4,3	&	58,7m & (41m)	65,5m & (46m)	29
LC-25-25	4,6	m @	10,0	&	90,2m & (63m)	94,8m & (66m)	46
LC-25-25	50,0	m @	12,2	&	100,55m & (70m)	150,5m & (105m)	612
LC-25-25	Incl. 19,2	m @	17,1	&	131,3m & (92m)	150,5m & (105m)	328
LC-25-26	3,2	m @	4,0	&	2,9m & (2m)	6,1m & (4m)	13
LC-25-26	5,0	m @	16,2	&	8,5m & (6m)	13,5m & (9m)	81
LC-25-26	13,8	m @	7,2	&	33m & (23m)	46,8m & (33m)	100
LC-25-27G	2,2	m @	4,2	&	67,7m & (47m)	69,9m & (49m)	9
LC-25-27G	34,4	m @	17,2	&	72,2m & (51m)	106,6m & (75m)	593
LC-25-27G	61,3	m @	13,7	&	120,2m & (84m)	181,5m & (127m)	842
LC-25-29	2,3	m @	4,2	&	9m & (6m)	11,3m & (8m)	10
LC-25-29	26,4	m @	7,1	&	13,1m & (9m)	39,5m & (28m)	187
LC-25-29	105,6	m @	13,1	&	43,9m & (31m)	149,5m & (105m)	1388
LC-25-30	34,6	m @	15,8	&	27,3m & (19m)	61,9m & (43m)	547
LC-25-30	2,5	m @	0,8	&	109m & (76m)	111,5m & (78m)	2
LC-25-30	8,0	m @	11,1	&	118,8m & (83m)	126,8m & (89m)	89
LC-25-30	2,5	m @	3,5	&	169m & (118m)	171,5m & (120m)	9
LC-25-31	22,4	m @	4,2	&	43m & (30m)	65,4m & (46m)	94
LC-25-31	16,6	m @	8,5	&	78,6m & (55m)	95,2m & (67m)	141
LC-25-31	Incl. 3,3	m @	23,1	&	89,1m & (62m)	92,4m & (65m)	76
LC-25-32G	41,4	m @	19,3	&	13,8m & (10m)	55,2m & (39m)	797
LC-25-32G	33,7	m @	15,9	&	56,45m & (40m)	90,1m & (63m)	534
LC-25-32G	16,4	m @	8,4	&	139,1m & (97m)	155,5m & (109m)	138
LC-25-33	22,9	m @	6,7	&	2,6m & (2m)	25,5m & (18m)	153
LC-25-33	28,5	m @	12,6	&	35,5m & (25m)	64m & (45m)	361
LC-25-33	20,5	m @	15,6	&	36,3m & (25m)	56,8m & (40m)	319
LC-25-33	12,0	m @	4,1	&	69,5m & (49m)	81,5m & (57m)	49
LC-25-33	29,3	m @	9,1	&	88,9m & (62m)	118,2m & (83m)	266
LC-25-33	16,8	m @	11,7	&	98,7m & (69m)	115,5m & (81m)	197

Forage	Longueur du fond de forage (m)		Carbone graphitique (%)		Soufre total (%)	Profondeur du fond du forage & (profondeur verticale)	Profondeur du trou de forage jusqu'à & (profondeur verticale)	% Cg x m
LC-25-33	26,0	m @	12,1	&	9,3	126m & (88m)	152m & (106m)	314
LC-25-33	17,3	m @	16,1	&	12,4	132,5m & (93m)	149,8m & (105m)	279
LC-25-34	39,1	m @	10,2	&	8,2	69,9m & (49m)	109m & (76m)	399
LC-25-34	Incl. 34,7	m @	11,1	&	8,7	74,3m & (52m)	109m & (76m)	384
LC-25-34	13,2	m @	4,3	&	4,7	150,4m & (105m)	163,6m & (115m)	57
LC-25-34	13,9	m @	3,9	&	3,6	178,5m & (125m)	192,4m & (135m)	55
LC-25-35	10,3	m @	8,7	&	11,8	15,7m & (11m)	26m & (18m)	90
LC-25-35	2,2	m @	8,1	&	9,7	31,4m & (22m)	33,6m & (24m)	18
LC-25-35	55,0	m @	7,3	&	7,2	50m & (35m)	105m & (74m)	402
LC-25-35	Incl. 28,1	m @	10,6	&	9,4	62,2m & (44m)	90,3m & (63m)	297
LC-25-35	12,0	m @	2,8	&	2,2	120m & (84m)	132m & (92m)	34
LC-25-35	42,8	m @	10,5	&	10,1	145,5m & (102m)	188,3m & (132m)	449
LC-25-35	23,4	m @	15,9	&	11,7	190,1m & (133m)	213,5m & (149m)	372
LC-25-36G	5,9	m @	2,2	&	4,3	81,8m & (57m)	87,7m & (61m)	13
LC-25-36G	32,2	m @	9,4	&	8,8	87,9m & (62m)	120,1m & (84m)	302
LC-25-36G	Incl. 22,4	m @	11,2	&	10,7	87,9m & (62m)	110,3m & (77m)	251
LC-25-36G	4,9	m @	6,7	&	4,8	121,7m & (85m)	126,6m & (89m)	33
LC-25-36G	96,0	m @	14,0	&	11,6	135m & (95m)	231m & (162m)	1343
LC-25-36G	63,0	m @	18,2	&	13,0	165,5m & (116m)	228,5m & (160m)	1148
LC-25-37	28,7	m @	16,7	&	11,4	21,7m & (15m)	50,4m & (35m)	479
LC-25-37	2,5	m @	3,2	&	2,5	54,8m & (38m)	57,3m & (40m)	8
LC-25-37	32,2	m @	8,6	&	9,6	83,4m & (58m)	115,6m & (81m)	276
LC-25-37	12,4	m @	9,5	&	10,0	117,7m & (82m)	130,1m & (91m)	117
LC-25-38G	32,0	m @	3,1	&	1,0	18m & (13m)	50m & (35m)	101
LC-25-38G	12,2	m @	8,4	&	6,5	86,8m & (61m)	99m & (69m)	103
LC-25-38G	5,8	m @	5,4	&	5,6	114m & (80m)	119,8m & (84m)	31
LC-25-38G	42,4	m @	9,4	&	7,7	132,4m & (93m)	174,8m & (122m)	399
LC-25-38G	Incl. 15,6	m @	13,9	&	9,7	157,4m & (110m)	173m & (121m)	217
LC-25-38G	7,8	m @	12,4	&	8,6	184,5m & (129m)	192,3m & (135m)	97
LC-25-38G	6,9	m @	18,0	&	11,4	209,2m & (146m)	216,1m & (151m)	124
LC-25-39	3,6	m @	23,7	&	13,8	5,15m & (4m)	8,7m & (6m)	84
LC-25-40G	5,8	m @	9,2	&	7,9	7,5m & (5m)	13,3m & (9m)	54
LC-25-40G	13,5	m @	4,9	&	4,5	42,9m & (30m)	56,4m & (39m)	66
LC-25-41	2,5	m @	4,7	&	3,2	26,5m & (19m)	29m & (20m)	12
LC-25-41	26,0	m @	9,5	&	7,4	34m & (24m)	60m & (42m)	246
LC-25-41	2,9	m @	6,1	&	7,1	67,5m & (47m)	70,4m & (49m)	18
LC-25-41	33,0	m @	8,8	&	6,1	95,7m & (67m)	128,7m & (90m)	291
LC-25-41	Incl. 13	m @	14,9	&	11,5	115,7m & (81m)	128,7m & (90m)	193
LC-25-41	18,1	m @	10,2	&	7,7	139m & (97m)	157,1m & (110m)	185
LC-25-42G	20,7	m @	6,2	&	6,0	28m & (20m)	48,7m & (34m)	129
LC-25-42G	29,7	m @	7,7	&	6,8	55,7m & (39m)	85,4m & (60m)	229
LC-25-42G	24,2	m @	13,7	&	8,3	114,2m & (80m)	138,4m & (97m)	332
LC-25-42W	7,8	m @	4,7	&	4,4	21m & (15m)	28,8m & (20m)	37
LC-25-42W	8,5	m @	6,9	&	4,3	30,5m & (21m)	39m & (27m)	59
LC-25-43	6,9	m @	3,3	&	2,4	25m & (18m)	31,9m & (22m)	23
LC-25-43	26,9	m @	7,8	&	9,3	37m & (26m)	63,9m & (45m)	209
LC-25-43	15,1	m @	5,6	&	3,0	89,4m & (63m)	104,5m & (73m)	84

Forage	Longueur du fond de forage (m)		Carbone graphitique (%)		Soufre total (%)	Profondeur du fond du forage & (profondeur verticale)	Profondeur du trou de forage jusqu'à & (profondeur verticale)	% Cg x m
LC-25-43	39,8	m @	13,5	&	9,0	107,9m & (76m)	147,7m & (103m)	538
LC-25-43	Incl. 13,3	m @	19,8	&	11,4	134,4m & (94m)	147,7m & (103m)	263
LC-25-44	2,5	m @	3,5	&	1,4	91m & (64m)	93,5m & (65m)	9
LC-25-44	4,2	m @	8,2	&	7,5	102,5m & (72m)	106,7m & (75m)	34
LC-25-45	8,6	m @	5,1	&	4,8	27,1m & (19m)	35,7m & (25m)	43
LC-25-45	28,5	m @	9,2	&	7,4	36,7m & (26m)	65,2m & (46m)	262
LC-25-45	Incl. 12	m @	11,7	&	7,7	46,3m & (32m)	58,3m & (41m)	141
LC-25-45	2,5	m @	2,0	&	0,7	72,5m & (51m)	75m & (53m)	5
LC-25-46	10,0	m @	4,4	&	1,7	52,5m & (37m)	62,5m & (44m)	44
LC-25-46	2,9	m @	3,4	&	4,4	72m & (50m)	74,9m & (52m)	10
LC-25-46	11,1	m @	6,6	&	10,5	82,5m & (58m)	93,6m & (66m)	74
LC-25-46	9,4	m @	8,1	&	7,7	103,3m & (72m)	112,7m & (79m)	76
LC-25-46	8,5	m @	14,9	&	10,9	131m & (92m)	139,5m & (98m)	127
LC-25-46	2,5	m @	2,0	&	0,6	145m & (102m)	147,5m & (103m)	5
LC-25-46	2,5	m @	2,2	&	0,6	150m & (105m)	152,5m & (107m)	5
LC-25-47	2,5	m @	4,3	&	1,4	11m & (8m)	13,5m & (9m)	11
LC-25-47	20,5	m @	6,5	&	9,1	25,7m & (18m)	46,2m & (32m)	134
LC-25-47	17,5	m @	8,1	&	8,1	48,5m & (34m)	66m & (46m)	143
LC-25-47	16,8	m @	11,4	&	9,0	73,9m & (52m)	90,7m & (63m)	191
LC-25-47	2,5	m @	1,6	&	0,7	95m & (67m)	97,5m & (68m)	4
LC-25-47	2,5	m @	2,9	&	0,7	100m & (70m)	102,5m & (72m)	7

APPENDIX 3 – Divulgateion JORC.

Section 1 : Techniques d'échantillonnage et données

Critères	Explication du code JORC	Commentaires
Techniques d'échantillonnage	<ul style="list-style-type: none"> Nature et qualité de l'échantillonnage (par exemple, canaux coupés, copeaux aléatoires ou outils de mesure spécialisés spécifiques à l'industrie adaptés aux minéraux étudiés, tels que les sondes gamma de fond de trou ou les instruments XRF portatifs, etc.). Ces exemples ne doivent pas être considérés comme limitant la signification générale de l'échantillonnage. Inclut une référence aux mesures prises pour garantir la représentativité des échantillons et l'étalonnage approprié des outils ou systèmes de mesure utilisés. Aspects de la détermination de la minéralisation qui sont importants pour le rapport public. Dans les cas où un travail « conforme aux normes de l'industrie » a été effectué, cela serait relativement simple (par exemple, « un forage à circulation inverse a été utilisé pour obtenir des échantillons de 1 m, dont 3 kg ont été pulvérisés pour produire une charge de 30 g pour l'essai au feu »). Dans d'autres cas, des explications supplémentaires peuvent être nécessaires, par exemple lorsqu'il y a de l'or grossier qui pose des problèmes inhérents à l'échantillonnage. Les matières premières ou les types de minéralisation inhabituels (par exemple, les nodules sous-marins) peuvent justifier la divulgation d'informations détaillées. 	<ul style="list-style-type: none"> Le programme de forage décrit dans le présent rapport a été achevé au début de l'année 2025 et l'échantillonnage a été effectué sur des carottes NQ. Une partie des carottes a été coupée pour être analysée en laboratoire, une autre partie a été conservée pour référence future et la moitié restante a été conservée pour le traitement des minéraux et les essais d'anodes de batterie. Des échantillons de carottes linéaires de 0,3 à 2,5 m ont été sélectionnés pour analyse. Les limites d'échantillonnage sont basées sur les variations lithologiques observées et les limites. Les longueurs de carottes de forage relativement homogènes sont limitées à une longueur d'échantillonnage maximale de 2,5 m.
Techniques de forage	<ul style="list-style-type: none"> Type de forage (par exemple, carottage, circulation inverse, marteau à trou ouvert, forage à air comprimé, tarière, Bangka, sonique, etc.) et détails (par exemple, diamètre du carottage, tube triple ou standard, profondeur des queues de diamant, trépan à échantillonnage frontal ou autre type, si le carottage est orienté et, le cas échéant, selon quelle méthode, etc.). 	<ul style="list-style-type: none"> Le forage a été réalisé par Magnor Exploration à l'aide d'une foreuse diamantée conventionnelle WL66 (NQ) avec un diamètre de carotte de 48 mm, utilisant un tube standard. L'étude de fond de trou a été réalisée à l'aide d'un instrument d'étude de fond de trou Devico Deviflex sur tous les trous de forage. La carotte de forage n'a pas été orientée.
Récupération des échantillons de forage	<ul style="list-style-type: none"> Méthode d'enregistrement et d'évaluation des taux de récupération des échantillons de carottes et de copeaux, et résultats évalués. Mesures prises pour maximiser le taux de récupération des échantillons et garantir leur représentativité. Si un lien existe entre le taux de récupération des échantillons et leur teneur, et si un biais d'échantillonnage a pu se produire en raison d'une perte/d'un gain préférentiel de matériaux fins/grossiers. 	<ul style="list-style-type: none"> Les taux de récupération des carottes diamantées sont estimés pendant le forage et vérifiés pendant le traitement des carottes et la diagraphie géologique. La longueur des carottes récupérées est mesurée pour chaque passage et enregistrée, ce qui permet de calculer le taux de récupération des carottes en pourcentage. Le taux global de récupération des carottes de forage est supérieur à 99 % et souvent continuellement de 100 %. Le taux de récupération des carottes de forage était constant dans les zones minéralisées. Aucun biais d'échantillonnage lié à la récupération n'a été déterminé.
Enregistrement	<ul style="list-style-type: none"> Si les échantillons de carottes et de copeaux ont été enregistrés de manière géologique et géotechnique avec un niveau de détail suffisant pour permettre une estimation appropriée des ressources minérales, des études minières et des études métallurgiques. 	<ul style="list-style-type: none"> Une diagraphie géologique est effectuée sur tous les forages, avec enregistrement de la lithologie, de l'altération, de la minéralisation, de la structure et de la veinure. La conductivité et la susceptibilité magnétique mesurées à l'aide d'appareils portatifs contribuent à la précision de la diagraphie des carottes et de la sélection des échantillons. Chaque longueur de carotte de forage a été enregistrée, y

Critères	Explication du code JORC	Commentaires
	<ul style="list-style-type: none"> • Si l'enregistrement est de nature qualitative ou quantitative. Photographie des carottes (ou des échantillons prélevés en bordure, dans les chenaux, etc.). • La longueur totale et le pourcentage des intersections pertinentes enregistrées. 	<p>compris la conductivité et la susceptibilité magnétique mesurées à l'aide d'appareils portatifs.</p>
<p>Techniques de sous-échantillonnage et préparation des échantillons</p>	<ul style="list-style-type: none"> • S'il s'agit d'un échantillon de carotte, s'il a été coupé ou scié et s'il s'agit d'un quart, d'une moitié ou de la totalité de la carotte. • S'il ne s'agit pas d'un échantillon de carotte, s'il a été prélevé à l'aide d'un échantillonneur à rifler, d'un échantillonneur tubulaire, d'un échantillonneur rotatif, etc. et s'il a été prélevé à l'état humide ou sec. • Pour tous les types d'échantillons, la nature, la qualité et la pertinence de la technique de préparation des échantillons. • Procédures de contrôle de la qualité adoptées pour toutes les étapes de sous-échantillonnage afin de maximiser la représentativité des échantillons. • Mesures prises pour garantir que l'échantillonnage soit représentatif du matériau in situ collecté, y compris, par exemple, les résultats de l'échantillonnage en double/de la seconde moitié sur le terrain. • Si la taille des échantillons est adaptée à la granulométrie du matériau échantillonné. 	<ul style="list-style-type: none"> • Le carottage a été réalisé à l'aide d'un système de carottage qui utilise la pression et d'autres contrôles pour améliorer la précision et prendre soin du carottage. • ¼ a été prélevé pour analyse en laboratoire et ½ a été conservé dans les plateaux pour les prochains essais de traitement des minéraux. Il est prévu que ¼ soit conservé dans les plateaux pour référence future. • La préparation des échantillons est conforme aux normes de l'industrie et est effectuée par des laboratoires reconnus internationalement - ALS Laboratories Ltd à Val d'Or, au Québec. Les échantillons doivent être broyés à 80 % passant au tamis de 10 mesh, divisés par riffle (250 g) et pulvérisés à 95 % passant au tamis de 105 microns. • Les techniques d'échantillonnage utilisées, telles que décrites ci-dessus, garantissent une représentativité et une taille d'échantillon adéquates. • Des échantillons blancs et des échantillons de référence ont été soumis par la société, qui s'est également appuyée sur des échantillons blancs, des échantillons de référence et des duplicatas de laboratoire.
<p>Qualité des données d'analyse et des tests de laboratoire</p>	<ul style="list-style-type: none"> • La nature, la qualité et la pertinence des procédures d'analyse et de laboratoire utilisées, et si la technique est considérée comme partielle ou totale. • Pour les outils géophysiques, les spectromètres, les instruments XRF portatifs, etc., les paramètres utilisés pour déterminer l'analyse, y compris la marque et le modèle de l'instrument, les temps de lecture, les facteurs d'étalonnage appliqués et leur dérivation, etc. • Nature des procédures de contrôle de la qualité adoptées (par exemple, normes, blancs, duplicatas, contrôles externes en laboratoire) et si des niveaux acceptables d'exactitude (c'est-à-dire absence de biais) et de précision ont été établis. 	<ul style="list-style-type: none"> • Les résultats des tests ont été reçus pour tous les forages (47 forages pour 9 385 m de carottes). • Les échantillons sont analysés pour déterminer leur teneur totale en carbone graphitique et en soufre à l'aide d'un four Leco. Le carbone graphitique est déterminé en digérant l'échantillon dans du HCl à 50 % afin de libérer le carbonate sous forme de CO₂. Le résidu est filtré, lavé, séché, puis calciné à 425 °C. Le résidu calciné est analysé pour déterminer sa teneur en C et en S à l'aide d'un four Leco à haute température avec détection infrarouge. • Les méthodes d'analyse sont considérées comme appropriées pour ce type de minéralisation. • L'AQCQ interne du laboratoire est effectuée à l'aide d'échantillons blancs, d'échantillons standard et d'échantillons en double, les résultats étant examinés par la société et les représentants des consultants. • Les systèmes de gestion des données Maxwells utilisés pour l'évaluation de l'AQCQ ont montré une précision et une exactitude adéquates pour les échantillons blancs et les échantillons standard. • Les essais métallurgiques précédents sont présentés comme suit : pour plus de détails sur le graphite sphérique et les résultats des essais sur les batteries, se reporter à l'annonce ASX de Metals Australia Limited, 28 février 2023. « Graphite sphérique de qualité batterie à 99,96 % pour Lac Carheil » et Metals Australia Ltd, 23 mai 2023. « Résultats exceptionnels des essais sur les batteries pour le graphite de Lac Carheil ». • Plusieurs phases de nouveaux essais de traitement des minéraux sont en cours dans le cadre de l'étude de pré faisabilité partiellement et presque achevée. • De nouveaux essais de traitement des minéraux sont prévus dans le cadre de la prochaine phase des études de faisabilité. • 316 échantillons de carottes ont été analysés pour la géochimie multi-éléments (code ALS ME-MS41), dont 140 provenaient de zones graphitiques minéralisées et 176 étaient des échantillons de roche encaissante. • Sur les 9 358 mètres de carottes de forage, 8 044 mètres ont été testés pour le graphite et le soufre, soit un total de 3 849

Critères	Explication du code JORC	Commentaires
		échantillons
Vérification de l'échantillonnage et de l'analyse	<ul style="list-style-type: none"> La vérification des intersections importantes par du personnel indépendant ou alternatif de la société. L'utilisation de trous jumelés. La documentation des données primaires, des procédures de saisie des données, de la vérification des données et des protocoles de stockage des données (physiques et électroniques). Discuter de tout ajustement des données d'analyse. 	<ul style="list-style-type: none"> Les données d'analyse sont communiquées telles qu'elles ont été reçues, sans ajustement. Les données sont vérifiées par les consultants locaux de la société avant leur divulgation. Aucun forage jumelé n'a été effectué. Les équipes de terrain ont recueilli les données de forage à l'aide d'une interface électronique et les ont stockées dans Geotic. Ce logiciel dispose de protocoles de validation et de contrôle qualité. Les intervalles d'échantillonnage sont vérifiés à l'aide des registres de diagraphie et des données de conductivité et de susceptibilité magnétique enregistrées manuellement pour toutes les carottes de forage. Les résultats d'analyse sont enregistrés et renvoyés sous forme électronique, puis chargés dans la base de données en fonction de l'identifiant de l'échantillon à des fins de contrôle qualité. MLS valide les bases de données de terrain et les intègre dans le système de base de données de l'entreprise, DataShed.
Emplacement des points de données	<ul style="list-style-type: none"> Précision et qualité des levés utilisés pour localiser les forages (levés au collier et au fond de forage), les tranchées, les travaux miniers et autres emplacements utilisés dans l'estimation des ressources minérales. Spécification du système de quadrillage utilisé. Qualité et adéquation du contrôle topographique. 	<ul style="list-style-type: none"> Les emplacements des forages sont enregistrés à l'aide d'un GPS différentiel. Les valeurs RL sont enregistrées et conservées. Pour la modélisation des ressources, la valeur RL provenant de l'ensemble de données d'élévation WorldDEM 5 Neo est utilisée pour la hauteur du collier.
Espacement et répartition des données	<ul style="list-style-type: none"> Espacement des données pour la communication des résultats d'exploration. Si l'espacement et la répartition des données sont suffisants pour établir le degré de continuité géologique et de teneur approprié pour les procédures d'estimation des ressources minérales et des réserves de minerai et les classifications appliquées. Si le regroupement d'échantillons a été appliqué. 	<ul style="list-style-type: none"> Des forages ont été effectués à intervalles de 50 mètres et des horizons minéralisés ont été interceptés à 20-40 mètres dans le sens du pendage des zones minéralisées.
Orientation des données par rapport à la structure géologique	<ul style="list-style-type: none"> Si l'orientation de l'échantillonnage permet d'obtenir un échantillonnage non biaisé des structures possibles et dans quelle mesure cela est connu, compte tenu du type de gisement. Si la relation entre l'orientation du forage et l'orientation des principales structures minéralisées est considérée comme ayant introduit un biais d'échantillonnage, celui-ci doit être évalué et signalé s'il est important. 	<ul style="list-style-type: none"> Le forage a été effectué à des angles compris entre -45 et -70 degrés (azimut de 018 à 030), afin de pénétrer les horizons cibles subverticaux sous le meilleur angle possible.
Sécurité des échantillons	<ul style="list-style-type: none"> Les mesures prises pour garantir la sécurité des échantillons. 	<ul style="list-style-type: none"> Magnor Exploration (sous-traitant de la société) conserve la possession du carottage depuis la plate-forme jusqu'à l'enregistrement, la découpe, l'échantillonnage et l'expédition des échantillons. Les protocoles standard de la chaîne de contrôle sont respectés : les échantillons sont déposés à la société de transport par le responsable de terrain, expédiés avec un numéro de suivi et réceptionnés directement par le laboratoire, qui envoie un avis de réception le jour même de la réception des échantillons.
Audits ou examens	<ul style="list-style-type: none"> Les résultats de tout audit ou examen des techniques d'échantillonnage et des données. 	<ul style="list-style-type: none"> Les nouveaux résultats sont vérifiés par l'équipe d'exploration au Québec. Ce programme d'échantillonnage et d'essais est maintenant terminé. Aucune vérification du processus n'a été effectuée.

Section 2: Déclaration des résultats d'exploration

Critères	Explication du Code JORC	Commentaires
Statut des concessions minières et foncières	<ul style="list-style-type: none"> Type, nom/numéro de référence, emplacement et propriété, y compris les accords ou les questions importantes avec des tiers, tels que les coentreprises, les partenariats, les redevances prioritaires, les droits fonciers autochtones, les sites historiques, les zones sauvages ou les parcs nationaux et les paramètres environnementaux. La sécurité du titre de propriété détenu au moment de la déclaration, ainsi que tout obstacle connu à l'obtention d'une licence d'exploitation dans la zone. 	<ul style="list-style-type: none"> Metals Australia Limited est propriétaire à 100 % du projet graphite Lac Carheil, conformément à l'accord d'acquisition contraignant. Il n'existe aucun autre problème important connu affectant les concessions. Quebec Lithium Limited, filiale à 100 % de Metals Australia, est propriétaire à 100 % du projet graphite, et la propriété des concessions individuelles CDC est détenue par Quebec Lithium Limited. Tous les titres fonciers sont en règle et ont été vérifiés sur le plan juridique par un avocat québécois spécialisé dans ce domaine.
Exploration effectuée par d'autres parties	<ul style="list-style-type: none"> Reconnaissance et évaluation des explorations menées par d'autres parties. 	<ul style="list-style-type: none"> Aucune exploration moderne n'a été menée par d'autres parties que MLS. Il existe de nombreuses sources d'informations et de données de télédétection ouvertes fournies par le gouvernement provincial du Québec. Les cartes gouvernementales répertorient plusieurs zones contenant du carbone graphitique dans la zone du projet, mais aucune donnée n'est disponible.
Géologie	<ul style="list-style-type: none"> Type de gisement, contexte géologique et type de minéralisation. 	<ul style="list-style-type: none"> Le projet graphite Lac Carheil est situé à proximité immédiate du projet Lac Knife de Focus Graphite, qui se trouve dans un environnement géologique similaire. Les projets ont été découverts pour la première fois en 1989 et ont depuis lors fait l'objet d'une étude géologique de base. La géologie de la zone du projet (qui abrite les gisements de graphite Lac Carheil) se situe dans le groupe Gagnon, qui est l'équivalent métamorphisé du groupe Ferriman dans la faille du Labrador. Les formations du groupe Ferriman comprennent Wishart (quartzite arénitique avec mica et calcite variables), Ruth (chert mudstone ferrugineux), Sokoman (formation ferrifère) et Menihék (mudstone/schiste micacé), ainsi que du basalte intrusif. La formation Nault du groupe Gagnon, composée de paragneiss à quartz, biotite et grenat contenant du graphite (équivalent métamorphisé de la formation Menihék), sous-tend la majeure partie de la propriété Lac Carheil et constitue la principale unité rocheuse cible. La lithologie hôte se compose d'une unité subverticale et lithologiquement continue de roches graphitiques à grains très fins, de couleur gris foncé à noire, contenant entre 1 et 28 % de carbone graphitique et des quantités appréciables de sulfures dont la teneur en soufre varie entre 0,01 et 18,8 %. Un certain nombre d'unités parallèles ont été identifiées à partir de la cartographie, des échantillons de canal et des forages. Les unités lithologiques sont plissées et faillées de manière variable, avec des largeurs réelles pouvant atteindre 70 m. Elles présentent une continuité locale sur des centaines de mètres et s'étendent régionalement sur plusieurs kilomètres. La pyrite, la pyrrhotite et des traces de chalcopyrite accompagnent la minéralisation graphitique, et les orientations subverticales sont présentes aujourd'hui.
Informations sur les forages	<ul style="list-style-type: none"> Un résumé de toutes les informations pertinentes pour la compréhension des résultats d'exploration, y compris un tableau récapitulatif des informations suivantes pour tous les forages importants : <ul style="list-style-type: none"> coordonnées est et nord du collier du trou de forage altitude ou RL (niveau réduit – altitude au-dessus du 	<ul style="list-style-type: none"> Les nouvelles informations relatives au forage sont résumées dans ce rapport. Avant le programme de forage mené par la société en 2019, aucun autre forage n'avait été réalisé.

Critères	Explication du Code JORC	Commentaires
	<p>niveau de la mer en mètres) du collier du trou de forage</p> <ul style="list-style-type: none"> • inclinaison et azimut du forage • longueur du forage et profondeur d'interception • longueur du forage <p>• Si l'exclusion de ces informations se justifie par le fait qu'elles ne sont pas importantes et que cette exclusion ne nuit pas à la compréhension du rapport, la personne compétente doit clairement expliquer pourquoi.</p>	
<p>Méthodes d'agrégation des données</p>	<ul style="list-style-type: none"> • Dans les rapports sur les résultats d'exploration, les techniques de pondération moyenne, les troncatures de teneur maximale et/ou minimale (p. ex. suppression des teneurs élevées) et les teneurs de coupure sont généralement importantes et doivent être mentionnées. • Lorsque les intersections agrégées comprennent des résultats à haute teneur sur de courtes distances et des résultats à faible teneur sur des distances plus longues, la procédure utilisée pour cette agrégation doit être indiquée et quelques exemples typiques de ces agrégations doivent être présentés en détail. • Les hypothèses utilisées pour tout rapport sur les valeurs équivalentes en métaux doivent être clairement indiquées. 	<ul style="list-style-type: none"> • Aucun élément équivalent n'a été signalé. • Les nouveaux intervalles de forage sont indiqués ici. • Les résultats analytiques du nouveau programme de forage sont présentés sous forme de moyennes pondérées en fonction de la longueur, généralement calculées à partir de plusieurs longueurs plus courtes des échantillons d'origine. Par exemple, un résultat de 80,5 mètres de n % Cg correspond à une moyenne pondérée en fonction de la longueur de 25 à 40 résultats d'échantillons individuels continus.
<p>Relation entre les largeurs de minéralisation et les longueurs d'interception</p>	<ul style="list-style-type: none"> • Ces relations sont particulièrement importantes dans la communication des résultats d'exploration. • Si la géométrie de la minéralisation par rapport à l'angle du forage est connue, sa nature doit être indiquée. • Si elle n'est pas connue et que seules les longueurs de fond de forage sont communiquées, cela doit être clairement indiqué (par exemple, « longueur de fond de forage, largeur réelle inconnue »). 	<ul style="list-style-type: none"> • La géométrie de la minéralisation graphitique dans la zone forée du projet Lac Carheil, sur le filon Carheil, est bien comprise et tous les forages ont été réalisés à peu près perpendiculairement à l'orientation de la minéralisation. La principale unité graphitique du mur est subverticale et semble présenter un pendage variable d'environ 80 à 90° - SSO. Plusieurs forages rapprochés réalisés en 2019 à Lac Carheil ont mis en évidence le pendage et l'azimut des zones minéralisées.
<p>Diagrammes</p>	<ul style="list-style-type: none"> • Des cartes et des coupes appropriées (avec échelles) ainsi que des tableaux des intersections doivent être inclus pour toute découverte importante faisant l'objet d'un rapport. Ceux-ci doivent inclure, sans s'y limiter, une vue en plan des emplacements des collets de forage et des vues en coupe appropriées. 	<ul style="list-style-type: none"> • Des schémas en plan, en coupe et en vue oblique ont été inclus dans ce rapport afin d'illustrer les principaux résultats du programme de terrain récemment achevé. • D'autres schémas seront inclus dans la future publication des résultats de forage.
<p>Rapports détaillés</p>	<ul style="list-style-type: none"> • La précision et la qualité des levés utilisés pour localiser les forages (levés au collier et au fond du forage), les tranchées, les travaux miniers et autres emplacements utilisés dans l'estimation des ressources minérales. • Lorsqu'il n'est pas possible de rendre compte de manière exhaustive de tous les résultats d'exploration, il convient de rendre compte de manière représentative des teneurs et/ou des largeurs faibles et élevées afin d'éviter toute communication trompeuse des résultats d'exploration. 	<ul style="list-style-type: none"> • Les résultats visuels présentés ici sont pondérés dans le contexte du présent rapport, qui fait état de l'achèvement du programme sur le terrain. • Les résultats analytiques présentés sont pondérés et suivent une méthode cohérente afin de permettre des comparaisons et des évaluations valables.
<p>Autres données d'exploration importantes</p>	<ul style="list-style-type: none"> • Les autres données d'exploration, si elles sont significatives et importantes, doivent être communiquées, notamment (mais sans s'y limiter) : les observations géologiques ; les résultats des études géophysiques ; les résultats des études géochimiques ; les échantillons en vrac - taille et méthode de traitement ; les résultats des essais métallurgiques ; la densité apparente, les caractéristiques des eaux souterraines, géotechniques et des roches ; les substances potentiellement nocives ou contaminantes. 	<ul style="list-style-type: none"> • Toutes les données significatives et importantes sont communiquées. • Metals Australia a accompli un travail considérable dans le cadre du projet Lac Carheil. Ce travail comprenait des levés géophysiques, des échantillonnages de copeaux de roche, des tranchées, des forages au diamant et des essais métallurgiques, qui ont été présentés dans un communiqué précédent de la Société publié sur l'ASX.

Critères	Explication du Code JORC	Commentaires
<p>Travaux supplémentaires</p>	<ul style="list-style-type: none"> · <i>La nature et l'ampleur des travaux supplémentaires prévus (par exemple, essais d'extension latérale ou en profondeur, ou forages d'extension à grande échelle).</i> · <i>Des diagrammes mettant clairement en évidence les zones d'extension possibles, y compris les principales interprétations géologiques et les futures zones de forage, à condition que ces informations ne soient pas sensibles sur le plan commercial.</i> 	<ul style="list-style-type: none"> • La Société a lancé une étude de préfaisabilité (EP) sur l'exploitation minière et la production de concentré de graphite en paillettes à Lac Carheil. • La Société entreprendra également une étude préliminaire sur la production de graphite sphérique non enduit de qualité supérieure destiné aux anodes des batteries lithium-ion. • D'autres essais métallurgiques sur des échantillons de graphite prélevés à l'aide de carottes diamantées seront utilisés pour produire des échantillons de concentré de flottation en vue d'essais supplémentaires sur le graphite sphérique en aval, et pour les fournir à des clients/acheteurs potentiels à des fins d'évaluation et d'essais. • À l'issue de ce programme de forage et des essais analytiques, la société prévoit de procéder à une mise à jour de l'estimation des ressources minérales.